



Universidad
Zaragoza

Trabajo Fin de Máster

Alternativas de implementación de un controlador digital en FPGA para un convertidor Buck en prácticas de laboratorio

Alternatives for implementation of a digital controller in FPGA for a Buck converter in laboratory exercises

Autor:

Adrián Marco Artigas

Director:

José Ignacio Artigas Maestre

ESCUELA DE INGENIERÍA Y ARQUITECTURA

Zaragoza, Septiembre 2016

DECLARACIÓN DE
AUTORÍA Y ORIGINALIDAD

(Este documento debe acompañar al Trabajo Fin de Grado (TFG)/Trabajo Fin de Máster (TFM) cuando sea depositado para su evaluación).

D./D^a. Adrián Marco Artigas,

con nº de DNI 76971691Y en aplicación de lo dispuesto en el art.

14 (Derechos de autor) del Acuerdo de 11 de septiembre de 2014, del Consejo

de Gobierno, por el que se aprueba el Reglamento de los TFG y TFM de la

Universidad de Zaragoza,

Declaro que el presente Trabajo de Fin de (Grado/Máster)
Máster _____, (Título del Trabajo)

Alternativas de implementación de un controlador digital en FPGA para un
convertidor Buck en prácticas de laboratorio

es de mi autoría y es original, no habiéndose utilizado fuente sin ser citada
debidamente.

Zaragoza, 20 de septiembre de 2016.

Fdo: Adrián Marco Artigas.

Alternativas de implementación de un controlador digital en FPGA para un convertidor Buck en prácticas de laboratorio

RESUMEN

El conocimiento de nuevas técnicas por parte de los estudiantes y futuros ingenieros es fundamental para que puedan desenvolverse de una manera más cómoda y eficiente en su futuro como diseñadores hardware. La presentación de las nuevas técnicas y recursos durante la fase de estudios son clave para abordar este planteamiento.

Este trabajo se centra en la exploración de alternativas actuales de implementación para un controlador en VHDL. Se trata de explorar nuevas opciones y recursos actuales que las nuevas herramientas de desarrollo incorporan para facilitar el trabajo al diseñador. Como base se han tenido en cuenta varios artículos de investigación, elaborados por profesores de la escuela, en los que estas alternativas habían sido planteadas.

Para la realización del trabajo se ha utilizado la implementación del control de un convertidor electrónico de potencia Buck. Este controlador, que será implementado sobre una FPGA, ha sido diseñado de varias maneras. Primero, se ha utilizado la técnica tradicional con el planteamiento de las operaciones coma fija. Con ayuda de librerías de coma fija y coma flotante se han desarrollado versiones adicionales. Gracias a los bloques IP de coma flotante se ha realizado una alternativa a la librería float. Por último, se ha implementado el controlador en un microcontrolador que puede ser embebido dentro de la FPGA, haciendo posible la programación de las operaciones utilizando código C.

Índice

1	Introducción	7
1.1	Estado de la técnica.....	7
1.2	Objetivo	8
1.3	Metodología	8
1.4	Herramientas.....	8
1.5	Organización del documento	9
2	El convertidor Buck en lazo cerrado.....	10
2.1	Circuito	10
2.2	Modelo del convertidor para simulación	11
2.3	Controlador	12
3	Alternativas de implementación	14
3.1	Implementación en coma fija.....	16
3.2	Implementación en coma fija con fixed_pkg	19
3.3	Implementación en coma flotante con float_pkg	21
3.4	Implementación en coma flotante con float_pkg, sencilla	24
3.5	Implementación con bloques IP float	25
3.6	Implementación con MicroBlaze.....	28
4	Resultados de simulación y validación experimental	31
5	Conclusiones y líneas futuras	36
5.1	Conclusiones.....	36
5.2	Líneas futuras	37
6	Referencias.....	38

7	Anexos.....	39
7.1	Esquema del convertidor Buck.....	39
7.2	Características de la Basys3.....	39
7.3	Test bench	40
7.4	Interfaz ADC	43
7.5	Versión en coma fija.....	45
7.6	Versión en coma fija con fixed_pkg	48
7.7	Versión en coma flotante con float_pkg, segmentada	51
7.8	Versión en coma flotante con float_pkg, sencilla	55
7.9	Versión con bloques IP de coma flotante	58
7.9.1	Diagrama de bloques.....	58
7.9.2	VHDL.....	58
7.10	Versión con MicroBlaze.....	63
7.10.1	Diagrama de bloques.....	63
7.10.2	VHDL.....	64
7.10.3	Código C.....	66

Índice de figuras

Fig. 1. Placa de evaluación Basys3.....	9
Fig. 2. Esquema completo, convertidor + ADC + placa de desarrollo	10
Fig. 3. Modelo del convertidor Buck en VHDL.....	12
Fig. 4. Diagrama de bloques del lazo de control.	13
Fig. 5. Diagrama de bloques principal.	14
Fig. 6. Planificación temporal.	14
Fig. 7. Diagrama de operaciones del controlador en tiempo discreto.....	15
Fig. 8. Declaración de señales en coma fija.....	17
Fig. 9. Máquina de estados en coma fija.....	18
Fig. 10. Declaración de señales en coma fija con fixed_pkg.	19
Fig. 11. Máquina de estados en coma fija con fixed_pkg.	20
Fig. 12. Estándares de representación en coma fija según IEEE 754.	21
Fig. 13. Declaración de señales en coma flotante.....	21
Fig. 14. Máquina de estados en coma flotante.....	22
Fig. 15. Perfil de modulación y tensión de salida en simulación pre-síntesis.	23
Fig. 16. Perfil de modulación y tensión de salida en simulación post-síntesis.....	23
Fig. 17. Máquina de estados en coma flotante.....	24
Fig. 18. Bloque IP multiplicador-sumador en coma flotante.	25
Fig. 19. Declaración de constantes para los bloques IP float.	25
Fig. 20. Diseño de bloques IP de coma flotante.....	26
Fig. 21. Máquina de estados con el operador IP de coma flotante.	27
Fig. 22. Diagrama de bloques con MicroBlaze.	28
Fig. 23. Diseño IP de MicroBlaze.	29
Fig. 24. Declaración de variables en C.....	30
Fig. 25. Rutina de control en C.	30
Fig. 26. Simulación genérica de procesos dentro de la FPGA.	31
Fig. 27. Simulación de tiempo de cálculo por hardware con la librería float.....	31
Fig. 28. Simulación de tiempo de cálculo con MicroBlaze.	32
Fig. 29. Simulación a gran escala del controlador en coma fija.	32
Fig. 30. Simulación a gran escala del controlador en MicroBlaze.	32
Fig. 31. Montaje para verificación en laboratorio.....	33
Fig. 32. Osciloscopio, arranque del controlador.	34
Fig. 33. Osciloscopio, cambio de carga.	34

Índice de tablas

Tabla 1. Distribución de operaciones en la unidad MAC.	15
Tabla 2. Formato de los nodos en coma fija.	17
Tabla 3. Resumen de variables transitorias según alternativa de implementación.	33
Tabla 4. Utilización de recursos.....	35
Tabla 5. Utilización de recursos en valor porcentual.	35

Índice de ecuaciones

Ecuación 1. Ecuaciones de estado del convertidor en tiempo continuo.	11
Ecuación 2. Ecuaciones de estado del convertidor en tiempo discreto.	12
Ecuación 3. Función de transferencia del controlador en tiempo continuo.....	12
Ecuación 4. Función de transferencia del controlador en tiempo discreto.	12
Ecuación 5. Ganancias del lazo de control.	13
Ecuación 6. Ganancia extra del controlador.	13
Ecuación 7. Ecuación del controlador.	24

Lista de acrónimos

ADC: Analog to Digital Converter.

ASIC: Application-Specific Integrated Circuit.

BRAM: Block RAM.

BUFG: Global clock Buffer.

DSP: Digital Signal Processor.

FF: Flip-Flop.

FPGA: Field Programmable Gate Array.

FPU: Floating Point Unit.

HDL: Hardware Description Language.

IDE: Integrated Development Environment.

IEEE: Institute of Electrical and Electronics Engineers.

IO: Input Output resource.

IP: Intellectual Property.

LUT: LookUp Table.

MAC: Multiply–Accumulate.

MCS: Micro-Controller System.

PLA: Programmable Logic Array.

PWM: Pulse Width Modulator.

RAM: Random Access Memory.

RTL: Register-Transfer Level.

SDK: Software Development Kit.

TFM: Trabajo Final de Máster.

WNS: Worst Negative Slack.

1 Introducción

El continuo avance de la tecnología obliga a los ingenieros a conocer y adquirir las destrezas necesarias acorde a las herramientas hardware y software más actuales. El conocimiento de nuevas herramientas y posibilidades es esencial para reducir los costes y el tiempo de puesta en marcha de las aplicaciones. Presentar algunas de ellas a los futuros ingenieros durante su formación facilita este planteamiento.

Dentro del marco de las FPGA (Field Programmable Gate Array) y la electrónica de potencia, este TFM estudia algunas de las alternativas actuales que ofrecen los fabricantes para acelerar los tiempos de diseño. Se aplicarán diferentes alternativas en la implementación de un controlador para un convertidor Buck.

1.1 Estado de la técnica

Los dispositivos programables, tales como los PLA (Programmable Logic Array), han estado presentes desde la década de los 70. Sin embargo, su uso estaba muy limitado por razones tecnológicas. Años después, la utilización de grandes matrices de puertas lógicas configurables daba lugar al concepto de FPGA (Field Programmable Gate Array).

El elevado precio de los circuitos integrados de aplicación específica ASIC (Application-Specific Integrated Circuit), combinado con los avances en fabricación de semiconductores, hicieron de la FPGA un dispositivo idóneo para un creciente número de nuevas aplicaciones. Se convertían entonces en una alternativa a los ASIC, así como una solución para rápido prototipado de sistemas. Sin embargo, no proporcionaban la cantidad de recursos deseables, y las herramientas software no habían alcanzado todavía el suficiente desarrollo como para optimizar los diseños.

Fue en la década de los 90 cuando las FPGAs alcanzaron el nivel de madurez que las convertirían en idóneas para su aplicación en numerosos ámbitos. A finales de esta década, la industria de las FPGA traía el potencial suficiente de recursos que permitían su incorporación en campos como las comunicaciones o el procesamiento de señal.

Aun así, estos dispositivos seguían teniendo numerosas limitaciones, una de ellas estaba relacionada con la reducida cantidad de recursos necesarios para implementar operaciones en coma flotante. Como consecuencia, los diseñadores tenían que readaptar su trabajo a coma fija. Las FPGAs actuales incluyen bloques sumadores y multiplicadores capaces de operar a la misma velocidad que los operadores en coma fija. También incluyen otras utilidades a destacar, como bloques analógicos, procesadores ARM integrados, memorias RAM, o interfaces de comunicación entre dispositivos. Otro avance de las nuevas herramientas de desarrollo es la capacidad de embeber un procesador en el diseño, que es implementado en la FPGA utilizando su memoria RAM y bloques lógicos.

En 2013, Xilinx lanzaba al mercado una nueva herramienta de diseño para FPGA, Vivado Design Suite. Vivado surgió para ser utilizada con las nuevas FPGA de la serie 7. Al igual que su predecesora, ISE Design Suite, permite a los desarrolladores sintetizar los diseños, ejecutar análisis de propagación de señal, examinar los diagramas RTL, simular los diseños y programar

los dispositivos. La herramienta introduce una nueva metodología de diseño enfocada a incrementar la productividad del desarrollador. Está fuertemente enfocada a diseños basados en bloques IP y también permite la creación de nuevos bloques a partir de código C/C++.

Puede decirse que, en la actualidad las FPGA cuentan con una gran variedad de recursos y los tiempos de desarrollo se han acelerado notablemente, por lo que se convierten en una excelente alternativa para su inclusión en gran cantidad de aplicaciones industriales; como las comunicaciones, control de movimiento, electrónica de potencia, aeroespacial, etc. Extraído de [1], [2] y [3].

1.2 Objetivo

El objetivo de este trabajo final de máster consiste en explorar algunas alternativas de implementación que ofrecen los nuevos entornos de desarrollo (IDE) y que se proponen en [4]. Estas son las librerías de coma fija y coma flotante, bloques IP y soft-core. No se han considerado soluciones de generación automática de código, como las basadas en herramientas de Matlab (HDL Coder, XSG) o las herramientas de síntesis de alto nivel (de C a HDL).

1.3 Metodología

Se desarrollarán varias alternativas para implementar un mismo controlador. Las diferentes alternativas se validarán mediante simulación. Esta simulación permitirá comprobar el funcionamiento del sistema completo, planta + control en lazo cerrado. Tanto el modelo matemático del convertidor electrónico de potencia (planta), como su control, se han implementado sobre la plataforma Vivado Design Suite.

Las diferentes alternativas también se probarán en un sistema real con el fin de validar que las implementaciones sobre FPGA corresponden con los resultados obtenidos en simulación. Para ello se ha utilizado una placa de desarrollo de Digilent y un prototipo de convertidor Buck. La placa elegida es la Basys3, que incluye una FPGA de la serie 7 de Xilinx.

1.4 Herramientas

Para la realización de este trabajo final de máster se han empleado dos tipos de herramientas. Una herramienta software, para diseño y simulación y herramientas hardware, para su comprobación en un sistema real.

La herramienta software es Vivado Design Suite 2015.3, un IDE (Integrated Development Environment) de última generación. Ofrece un nuevo enfoque para aumentar la productividad ofreciendo ventajas basadas en tres aspectos, aceleración de la fase de diseño, entorno de simulación y optimización de la implementación. La aceleración del diseño es posible gracias a una nueva metodología basada en la generación de bloques IP y la integración de bloques IP predefinidos. En cuanto a simulación, Vivado incluye un simulador de lenguaje mixto y un entorno de programación y depurado. Por último, Vivado es capaz de optimizar la implementación del diseño hasta un 20% y mejorar del rendimiento y consumo en la FPGA.

Las herramientas hardware son el convertidor electrónico de potencia Buck y la placa de control con FPGA. El convertidor Buck es un prototipo utilizado en prácticas de laboratorio,

cuyo modelo matemático se ha descrito en VHDL para su simulación. El prototipo también monta un conversor ADC, que medirá la tensión de salida del convertidor.

La placa de control es la Basys3 de Digilent. Se trata de una tarjeta diseñada exclusivamente para Vivado Design Suite que incorpora una FPGA de arquitectura Artix®7 de Xilinx. La Basys3 incluye periféricos, una gran colección de dispositivos de E/S, todos los circuitos de soporte FPGA requeridos, y una versión libre de las herramientas de desarrollo. Las características de esta placa pueden consultarse en los anexos de este documento.

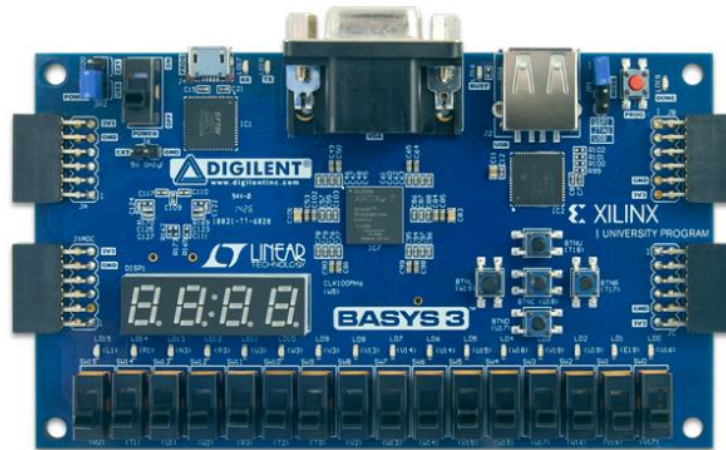


Fig. 1. Placa de evaluación Basys3.

1.5 Organización del documento

El documento se desarrolla de la siguiente manera. En el punto 2 se expone como punto de partida el circuito electrónico del convertidor electrónico de potencia junto al controlador digital utilizado y se da a conocer la base sobre la cual se ha trabajado en este TFM.

En el punto 3 se desarrolla el grueso del trabajo. En él se explican todas las alternativas de implementación estudiadas:

1. Implementación en coma fija.
2. Implementación en coma fija con fixed_pkg.
3. Implementación en coma flotante con float_pkg.
4. Implementación en coma flotante con float_pkg, sencilla.
5. Implementación con bloques IP float.
6. Implementación con MicroBlaze.

El punto 4 recoge los resultados de simulación y validación experimental obtenidos en cada alternativa.

Por último, en el punto **¡Error! No se encuentra el origen de la referencia.**, se exponen las conclusiones y las líneas de trabajo futuras.

Los diseños completos pueden consultarse en los anexos.

2 El convertidor Buck en lazo cerrado

En este bloque se presenta el modelo matemático del convertidor junto con el controlador utilizado. El circuito del convertidor y su controlador han sido recopilados de la asignatura “Control Digital con FPGA de Etapas de Potencia” y están explicados en [4]. El modelo del convertidor fue obtenido por el autor de este TFM como parte del trabajo de dicha asignatura. El tipo de controlador y sus coeficientes fueron proporcionados como punto de partida para su posterior implementación en una FPGA.

2.1 Circuito

El esquema simplificado del convertidor Buck + control se muestra en la Fig. 2.

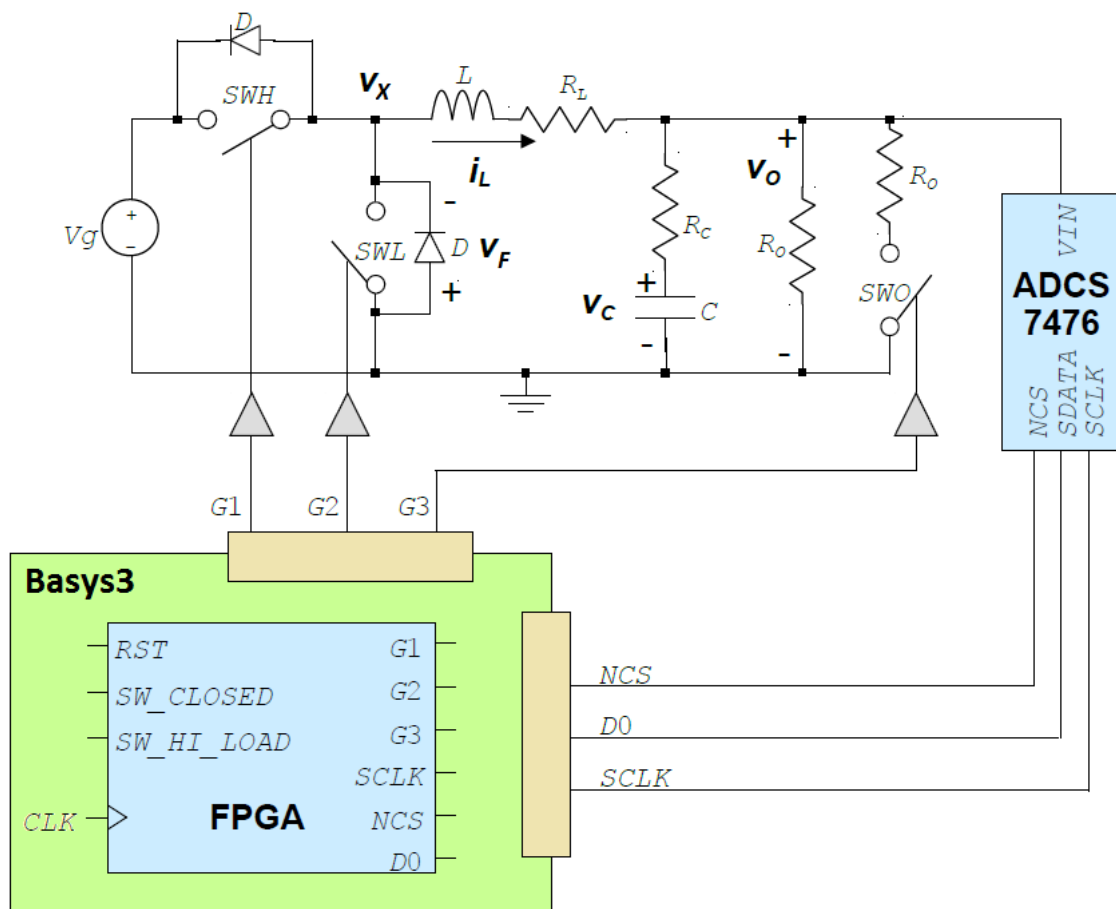


Fig. 2. Esquema completo, convertidor + ADC + placa de desarrollo

Los parámetros de este convertidor son los siguientes:

- Tensión de entrada, $V_g = 5$ V (rango de 3 a 6 V).
- Tensión de salida, $V_o = 2.5$ V.
- $L = 68$ μ H, $R_L = 98$ m Ω .
- $C = 220$ μ F, $R_C = 80$ m Ω .
- $R_o = 5$ Ω .
- Frecuencia de conmutación, $f_{sw} = 100$ kHz.
- Frecuencia de muestreo, $f_{ADC} = 100$ kHz.

La tensión de salida V_o , se conecta a través de un filtro antialiasing de ganancia 1 al ADC, cuyo rango va de 0 a 3.3 V.

La resolución del PWM es de 9 bits y la del ADC de 8 bits. Con una resolución PWM mayor que la del ADC se asegura que no haya ciclos límite.

El interruptor SW_HI_LOAD se utiliza para provocar cambios en la carga del convertidor, mientras que el interruptor SW_CLOSED se utiliza para habilitar el controlador o utilizar una modulación fija. G2 no se utiliza y SWL permanece siempre abierto. El botón RST resetea todo el sistema implementado en la FPGA.

La frecuencia de reloj de la FPGA es de 100 MHz, el diseño se ha planteado para funcionar a 50 MHz. El esquema completo del convertidor Buck puede consultarse en los anexos.

2.2 Modelo del convertidor para simulación

Para poder llevar a cabo una simulación, es necesario implementar un modelo matemático del convertidor y de los componentes del lazo de control. Estos modelos se han desarrollado en un test bench utilizando Vivado.

El modelo matemático del convertidor se ha obtenido a través de sus ecuaciones de estado, que son:

- q1: SWH ON, D en corte.
- q2: SWH OFF, D conduce.
- q3: SWH OFF, D en corte.

Se muestran en la Ecuación 1 donde V_x es la tensión V_G o $-V_F$ (tensión directa del diodo), dependiendo del estado de los interruptores.

$$\frac{d}{dt} \begin{pmatrix} i_L \\ v_C \end{pmatrix} = \begin{pmatrix} -\frac{1}{L} \left(\frac{R_L R_O + R_L R_C + R_C R_O}{R_O + R_L} \right) & -\frac{1}{L} \frac{R_O}{R_C + R_O} \\ \frac{1}{C} \frac{R_O}{R_C + R_O} & -\frac{1}{C} \frac{R_O}{R_C + R_O} \end{pmatrix} \begin{pmatrix} i_L \\ v_C \end{pmatrix} + \begin{pmatrix} 1 \\ 0 \end{pmatrix} v_x;$$

$$v_o = \begin{pmatrix} \frac{R_C R_O}{R_C + R_O} & \frac{R_O}{R_C + R_O} \end{pmatrix} \begin{pmatrix} i_L \\ v_C \end{pmatrix};$$

Ecuación 1. Ecuaciones de estado del convertidor en tiempo continuo.

La matriz es discretizada mediante el método de "Euler hacia delante" con un tiempo de muestreo $T_s = 20$ ns, resultando en la matriz expresada en la Ecuación 2.

$$\frac{d}{dt} \begin{pmatrix} i_L(k+1) \\ v_C(k+1) \end{pmatrix} = \begin{pmatrix} 1 - \frac{T_s}{L} \left(\frac{R_L R_O + R_L R_C + R_C R_O}{R_O + R_L} \right) & -\frac{T_s}{L} \frac{R_O}{R_C + R_O} \\ \frac{T_s}{C} \frac{R_O}{R_C + R_O} & 1 - \frac{T_s}{C} \frac{R_O}{R_C + R_O} \end{pmatrix} \begin{pmatrix} i_L(k) \\ v_C(k) \end{pmatrix} + \begin{pmatrix} \frac{T_s}{L} \\ 0 \end{pmatrix} v_x;$$

$$v_o = \begin{pmatrix} \frac{R_C R_O}{R_C + R_O} & \frac{R_O}{R_C + R_O} \end{pmatrix} \begin{pmatrix} i_L \\ v_C \end{pmatrix};$$

Ecuación 2. Ecuaciones de estado del convertidor en tiempo discreto.

Finalmente, es posible plantear estas ecuaciones en código VHDL para simular el convertidor. El fragmento de código de este modelo, extraído del test bench, se muestra en la Fig. 3. El test bench completo puede consultarse en los anexos de este documento.

```

175 -----
176 --      MODELO DEL BUCK ECUACIONES EN DIFERENCIAS IL VO VC
177 -----
178 process
179     variable IL_aux : real;
180 begin
181     wait for Ts;
182     if (G1 = '1') then -- q1
183         IL_aux := IL*(1.0-(dT*(RL*RO+RL*RC+RC*RO)/(L*(RO+RC)))) -
184             VC*((dT*RO)/(L*(RO+RC))) + (VG*dT/L);
185     else --q2
186         IL_aux := IL*(1.0-(dT*(R1*RO+R1*RC+RC*RO)/(L*(RO+RC)))) -
187             VC*((dT*RO)/(L*(RO+RC))) - (VF*dT/L);
188     end if;
189     if (IL_aux < 0.0) then --q3
190         IL_aux := 0.0;
191     end if;
192     IL <= IL_aux;
193     VC <= (((dT/C)*(Ro/(Ro+Rc)))*iL) + vC*(1.0-((dT/C)*(1.0/(Ro+Rc))));
194     VO <= ((RC*RO)/(RO+RC))*iL + ((Ro/(RO+RC))*VC);
195     HVO <= VO;
196 end process;

```

Fig. 3. Modelo del convertidor Buck en VHDL.

2.3 Controlador

Se desea obtener un ancho de banda $f_c = 5$ kHz y un margen de fase de 60° . Para ello se utiliza el controlador PI+ PAF, proporcionado en la asignatura “Control Digital con FPGA de Etapas de Potencia”, que se muestra en la Ecuación 3.

$$C(s) = 5,05 \frac{(s + 3142)(s + 15550)}{s(s + 63470)}$$

Ecuación 3. Función de transferencia del controlador en tiempo continuo.

La función de transferencia del controlador en tiempo discreto se muestra en la Ecuación 4.

$$C(z) = \frac{b_0 + b_1 z^{-1} + b_2 z^{-2}}{1 + a_1 z^{-1} + a_2 z^{-2}}$$

Ecuación 4. Función de transferencia del controlador en tiempo discreto.

Donde $(b_0, b_1, b_2) = (3,480, -7,658, 4,197)$ y $(a_1, a_2) = (0,5182, -1,5182)$. Suponiendo sendas ganancias del PWM y del convertor analógico-digital iguales a 1.

El diagrama de bloques del control en lazo cerrado se muestra en la Fig. 4, donde $C(z)$ es el controlador, PWM es el bloque modulador, G_{vd} es la función de transferencia del convertidor y ADC es el convertidor analógico-digital. Ref representa la consigna y V_o la tensión de salida del convertidor.

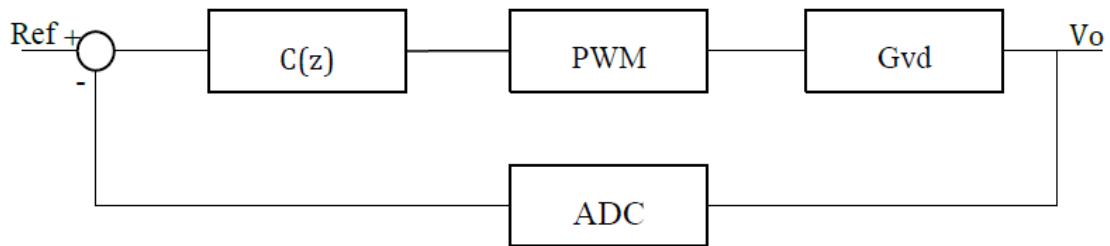


Fig. 4. Diagrama de bloques del lazo de control.

Las ganancias de los bloques PWM y ADC se reflejan en la Ecuación 5.

$$K_{PWM} = \frac{1}{500}; K_{ADC} = \frac{2^8}{3,3};$$

Ecuación 5. Ganancias del lazo de control.

Para compensar estas ganancias el controlador $C(z)$ queda multiplicado por el factor obtenido en la Ecuación 6. Lo que da lugar al controlador de la Ecuación 4 multiplicado por este factor.

$$\frac{1}{K_{PWM}} \frac{1}{K_{ADC}} = 6,6;$$

Ecuación 6. Ganancia extra del controlador.

3 Alternativas de implementación

Tras el punto de partida descrito en el apartado anterior, se presenta a continuación el trabajo realizado en este TFM. Aquí se exponen las diferentes alternativas estudiadas para implementar el controlador sobre una FPGA.

En la Fig. 5 se muestra el circuito digital diseñado para la FPGA, que equivale al recuadro azul de la Fig. 2. Este diagrama es el que se ha seguido para implementar todas las alternativas salvo la versión con microcontrolador.

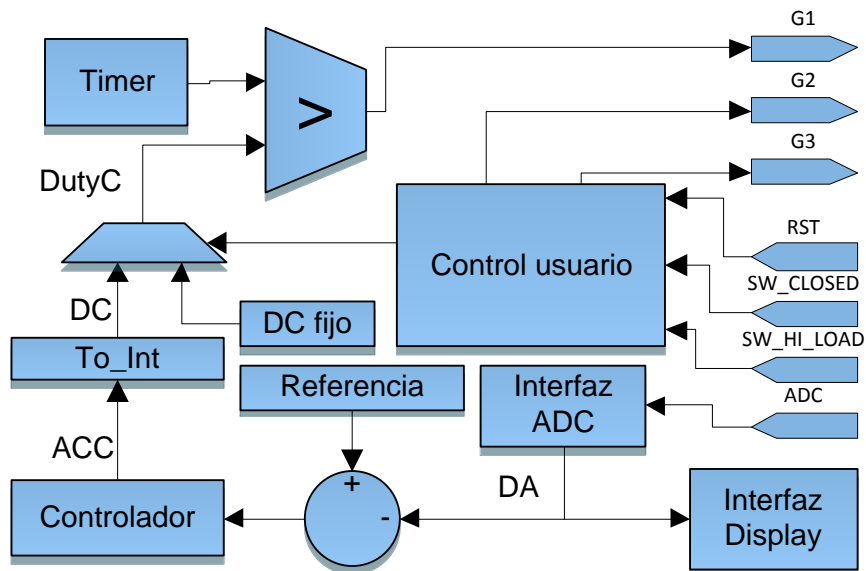


Fig. 5. Diagrama de bloques principal.

La organización de las tareas que desempeñan los diferentes bloques se realiza a través del contador llamado "Timer". De esta manera, todas ellas se repetirán en los mismos puntos cíclicamente. Como se ve en la Fig. 6, en cierto punto N1 se inicia la conversión del ADC y se espera un tiempo para obtener la respuesta. En otro punto N2 actúa el controlador y se espera de nuevo para que se efectúen los cálculos y obtener así el duty cycle. Este duty actuará a partir del ciclo siguiente.

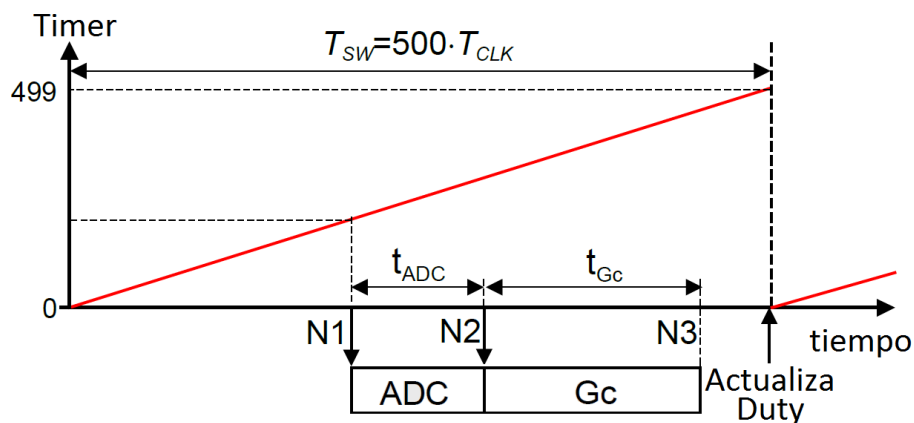


Fig. 6. Planificación temporal.

El controlador de la Ecuación 4 puede ser representado en forma de diagrama de bloques, Fig. 7, con el fin de visualizar las distintas operaciones de una manera segmentada y más intuitiva a la hora de describir el diseño en código VHDL.

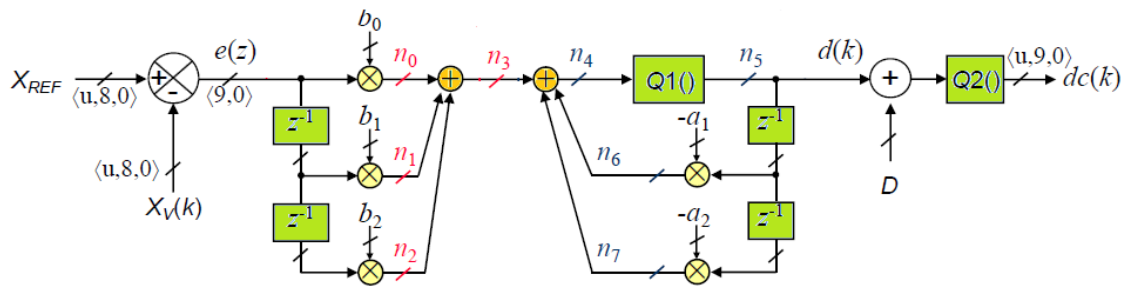


Fig. 7. Diagrama de operaciones del controlador en tiempo discreto.

Para implementar esta estructura se ha seguido un método común en todas las alternativas, la utilización de una unidad de multiplicación y acumulación (MAC). Este método consiste en distribuir las operaciones del controlador en varios ciclos de reloj, de forma que en cada ciclo se realiza una operación de multiplicación y acumulación. De este modo todas las operaciones del controlador se realizarán con el mismo hardware. En la Tabla 1 se muestran las operaciones que se seguirán con este método. La sucesión de las operaciones se ha implementado a través de una máquina de estados.

	# ciclo	ARG1	ARG2	Operación
	1	b_0	$e(z)$	$ACC \leq X*Y$
	2	b_1	$e(z^{-1})$	$ACC \leq ACC + X*Y$
	3	b_2	$e(z^{-2})$	$ACC \leq ACC + X*Y$
	4	$-a_1$	$d(z^{-1})$	$ACC \leq ACC + X*Y$
	5	$-a_2$	$d(z^{-2})$	$ACC \leq ACC + X*Y$
	6			$e(z^{-1}) \leq e(z)$ $e(z^{-2}) \leq e(z^{-1})$ $d(z^{-1}) \leq d(z)$ $d(z^{-2}) \leq d(z^{-1})$

Tabla 1. Distribución de operaciones en la unidad MAC.

3.1 Implementación en coma fija

La representación en coma fija complemento a 2 consiste en destinar una cantidad fija de bits para la parte entera y otra para la parte fraccionaria, el primer bit queda reservado para indicar el signo. La precisión de esta representación dependerá del número de bits que se reserven a cada parte. La notación utilizada para designar el formato de un determinado número con esta representación es $\langle w, f \rangle$, donde w es el número total de bits y f es el número de bits después del punto decimal. La relación matemática entre estos números es $I = w - 1 - f$, donde I es el número de bits que representan la parte entera y el 1 es el bit reservado para el signo.

La primera alternativa estudiada consiste en desarrollar las operaciones de números reales utilizando esta representación. Para ello, los números han de ser dimensionados manualmente. Esta implementación es muy costosa para el diseñador, requiere de un estudio meticuloso de todos los números y operaciones que intervienen en el controlador.

Las constantes se pasan a codificar en coma fija utilizando el formato $\langle 18, f \rangle$, utilizando el mismo formato para los coeficientes del numerador y el mismo formato para los coeficientes del denominador.

- $b_2 = 3,480 * 6,6 = 22,968 \quad I > \log_2(22,968) = 4,52 \quad \rightarrow I=5$
- $b_1 = -7,658 * 6,6 = -50,5428 \quad I > \log_2(50,5428) = 5,66 \quad \rightarrow I=6$
- $b_0 = 4,197 * 6,6 = 27,7002 \quad I > \log_2(27,7002) = 4,79 \quad \rightarrow I=5$

Por tanto, $I = 6$ y el formato para los tres es $\langle 18, 11 \rangle$.

- $a_2 = 0,5182 \quad I > \log_2(0,5182) = -0,95 \quad \rightarrow I=0$
- $a_1 = -1,5182 \quad I > \log_2(1,5182) = 0,60 \quad \rightarrow I=1$

Por tanto, $I = 1$ y el formato para los dos es $\langle 18, 16 \rangle$.

Finalmente, los coeficientes codificados en sus respectivos formatos son:

- $b_2 = \text{round}(22,968 * 2^{11}) = 47.038$
- $b_1 = \text{round}(-50,5428 * 2^{11}) = -103.512$
- $b_0 = \text{round}(27,7002 * 2^{11}) = 56.730$
- $a_2 = \text{round}(0,5182 * 2^{16}) = 33.961$
- $a_1 = \text{round}(-1,5182 * 2^{16}) = -99.497$

El nodo n5, es el único nodo que necesita ser estimado por simulación, obteniendo el formato $\langle s, 22, 8 \rangle$. El formato del resto de nodos se obtiene operando con los formatos de los operadores, como se refleja en la Tabla 2.

Nodo	Operación	Formatos	Formato resultado
0	b0*error0	<18,11> * <9,0>	<27,11>
1	b1*error1	<18,11> * <9,0>	<27,11>
2	b2*error2	<18,11> * <9,0>	<27,11>
3	n0+n1+n2	<27,11> + <27,11> + <27,11>	<30,11>
5	Cuantización	<42,24>	<22,8>
6	-a1*duty1	<18,16> * <22,8>	<40,24>
7	-a2*duty2	<18,16> * <22,8>	<40,24>
4	n3+n6+n7	<30,11> + <40,24> + <40,24>	<42,24>

Tabla 2. Formato de los nodos en coma fija.

En la Fig. 8 se muestra la declaración de todas las señales que intervienen en la implementación del controlador. Se utilizan los tipos **signed** o **unsigned** dependiendo del formato con signo o sin signo de las señales.

```

60  -- SEÑALES DE E/S DEL CONTROLADOR
61  signal REFERENCE: unsigned (8 downto 0) := to_unsigned(194,9); --Consigna
62  signal nDC, DC : unsigned (8 downto 0);
63  signal nDutyC, DutyC: unsigned (8 downto 0);
64  signal nREFERENCE: unsigned (12 downto 0);
65
66  -- SEÑALES PARA EL CONTROLADOR EN COMA FIJA
67  signal nACC, ACC: signed(41 downto 0) := (others => '0'); --<42,24>
68  signal nERROR0, nERROR1, nERROR2, ERROR0, ERROR1, ERROR2 : signed(8 downto 0); --<9,0>
69  signal nMUL1, MUL1, nDUTY1, nDUTY2, DUTY1, DUTY2 : signed(21 downto 0); -- <22,8>
70
71  -- CONSTANTES DEL CONTROLADOR EN COMA FIJA
72  signal nMUL2, MUL2: signed(17 downto 0);
73  constant b2 : signed(17 downto 0) := to_signed(47038, 18); -- 3.480 * 6.6 <18,11>
74  constant b1 : signed(17 downto 0) := to_signed(-103512, 18); -- -7.658 * 6.6 <18,11>
75  constant b0 : signed(17 downto 0) := to_signed(56730, 18); -- 4.197 * 6.6 <18,11>
76  constant a2 : signed(17 downto 0) := to_signed(33961, 18); -- 0.5182 <18,16>
77  constant a1 : signed(17 downto 0) := to_signed(-99497, 18); -- -1.5185 <18,16>

```

Fig. 8. Declaración de señales en coma fija.

Las operaciones del controlador se realizan con la máquina de estados de la Fig. 9. En cada operación de multiplicación y acumulación es necesario adaptar el formato de los diferentes resultados concatenando ceros o con la función **Resize**.

```

180 case ESTADO is
181     when REPOSO =>
182         if (START_GC = '1') then
183             nERROR0 <= signed(REFERENCE)- signed('0' & DA);
184             nESTADO <= E0;
185         end if;
186     when E0 =>
187         nMUL1 <= ERROR0 & "00000000000000";
188         nMUL2 <= b0;
189         nESTADO <= E1;
190     when E1 =>
191         nACC <= Resize(MUL1 * MUL2, 42);
192         nMUL1 <= ERROR1 & "00000000000000";
193         nMUL2 <= b1;
194         nESTADO <= E2;
195     when E2 =>
196         nACC <= Resize(MUL1 * MUL2 + ACC, 42);
197         nMUL1 <= ERROR2 & "00000000000000";
198         nMUL2 <= b2;
199         nESTADO <= E3;
200     when E3 =>
201         nACC <= Resize(MUL1 * MUL2 + ACC, 42);
202         nMUL1 <= DUTY1;
203         nMUL2 <= -a1;
204         nESTADO <= E4;
205     when E4 =>
206         nACC <= Resize(MUL1 * MUL2 + ACC, 42);
207         nMUL1 <= DUTY2;
208         nMUL2 <= -a2;
209         nESTADO <= E5;
210     when E5 =>
211         nACC <= Resize(MUL1 * MUL2 + ACC, 42);
212         nESTADO <= E6;
213     when E6 =>
214         --Actualizar valores
215         nERROR1 <= ERROR0;
216         nERROR2 <= ERROR1;
217         nDUTY1 <= ACC(37 downto 16);
218         nDUTY2 <= DUTY1;
219         --Cuantizador, coge solo la parte entera
220         if (ACC(41 downto 24) > 450) then
221             nDC <= to_unsigned(450, 9);
222         elsif (ACC(41 downto 24) < 50) then
223             nDC <= to_unsigned(50, 9);
224         else
225             nDC <= unsigned(ACC(32 downto 24));
226         end if;
227         nESTADO <= REPOSO;
228     end case;

```

Fig. 9. Máquina de estados en coma fija.

3.2 Implementación en coma fija con fixed_pkg

En este apartado se estudia de nuevo la implementación del control en coma fija, esta vez con ayuda de la librería **fixed_pkg**. Para su implementación ha sido de gran ayuda lo explicado en [5].

La utilización de esta librería permite que el dimensionamiento de los coeficientes resulte mucho más legible. Las señales quedan declaradas indicando, por un lado, la cantidad de bits a la izquierda del punto y por otro, la cantidad de bits de la parte decimal. En cuanto a las operaciones, ya no es necesario tener en mente donde está la coma. Gracias al formato que presenta esta librería los operandos son alineados de forma correcta. Por último, habrá que adaptar el formato del resultado al formato de la señal destino. Esto puede hacerse cómodamente con la función **Resize**, sin necesidad de concatenar ni recortar bits, simplemente indicando el formato de la señal destino.

En la Fig. 10 se muestra la declaración de las señales del controlador. El número decimal puede introducirse directamente con la función **to_sfixed**. El formato se indica dentro de la propia función, que ha de encajar con el especificado en la declaración con el tipo **sfixed**. El primer número (en positivo) indica el número de bits reservado para la parte entera teniendo en cuenta que el primer bit a la izquierda de la coma es el bit 0. El segundo número (en negativo) indica el número de bits de la parte decimal. Un formato "6 downto -11" indicaría que hay 7 bits a la izquierda del punto y 11 bits a la derecha.

```

63  -- SEÑALES DE E/S DEL CONTROLADOR
64  signal REFERENCE: unsigned(8 downto 0) := to_unsigned(194,9); --Consigna
65  signal nDC, DC : unsigned(8 DOWNT0 0); -- Duty cuantizado
66  signal nDutyC, DutyC: unsigned (8 downto 0); -- Duty command final
67  signal nREFERENCE : unsigned (12 downto 0);
68
69  -- SEÑALES PARA EL CONTROLADOR EN COMA FIJA USANDO FIXED_PKG
70  signal nACC, ACC: sfixed(17 downto -24); -- 18_24
71  signal nERROR0, nERROR1, nERROR2, ERROR0, ERROR1, ERROR2: sfixed(8 downto 0); -- 9_0
72  signal nDUTY1, nDUTY2, DUTY1, DUTY2 : sfixed(13 downto -8); -- 14_8
73  signal nMUL1, MUL1 : sfixed(13 downto -8);
74  signal nMUL2, MUL2 : sfixed(6 downto -16);
75
76  -- CONSTANTES EN COMA FIJA USANDO FIXED_PKG
77  constant b2 : sfixed (6 downto -11) := to_sfixed (3.480 *6.6, 6,-11); --7_11
78  constant b1 : sfixed (6 downto -11) := to_sfixed (-7.658 *6.6, 6,-11); --7_11
79  constant b0 : sfixed (6 downto -11) := to_sfixed (4.197 *6.6, 6,-11); --7_11
80  constant a2 : sfixed (1 downto -16) := to_sfixed (0.5182, 1,-16); --2_16
81  constant a1 : sfixed (1 downto -16) := to_sfixed (-1.5182, 1,-16); --2_16

```

Fig. 10. Declaración de señales en coma fija con fixed_pkg.

En la Fig. 11 se muestran las operaciones de la máquina de estados.

```

155 case ESTADO is
156   when REPOSO =>
157     if (START_GC = '1') then
158       nERROR0 <= to_sfixed(signed(REFERENCE) - signed('0'&DA), 8, 0);
159       nESTADO <= E0;
160     end if;
161   when E0 =>
162     nMUL1 <= Resize(ERROR0, 13, -8);
163     nMUL2 <= Resize(b0, 6, -16);
164     nESTADO <= E1;
165   when E1 =>
166     nACC <= Resize(MUL1 * MUL2, 17, -24);
167     nMUL1 <= Resize(ERROR1, 13, -8);
168     nMUL2 <= Resize(b1, 6, -16);
169     nESTADO <= E2;
170   when E2 =>
171     nACC <= Resize(MUL1 * MUL2 + ACC, 17, -24);
172     nMUL1 <= Resize(ERROR2, 13, -8);
173     nMUL2 <= Resize(b2, 6, -16);
174     nESTADO <= E3;
175   when E3 =>
176     nACC <= Resize(MUL1 * MUL2 + ACC, 17, -24);
177     nMUL1 <= Resize(DUTY1, 13, -8);
178     nMUL2 <= Resize(-a1, 6, -16);
179     nESTADO <= E4;
180   when E4 =>
181     nACC <= Resize(MUL1 * MUL2 + ACC, 17, -24);
182     nMUL1 <= Resize(DUTY2, 13, -8);
183     nMUL2 <= Resize(-a2, 6, -16);
184     nESTADO <= E5;
185   when E5 =>
186     nACC <= Resize(MUL1 * MUL2 + ACC, 17, -24);
187     nESTADO <= E6;
188   when E6 =>
189     --Actualizar valores
190     nERROR1 <= ERROR0;
191     nERROR2 <= ERROR1;
192     nDUTY1 <= ACC(13 downto -8); -- 14_8 <= 18_24
193     nDUTY2 <= DUTY1;
194     --Cuantizador, coge solo la parte entera
195     if (ACC(17 downto 0) > 450) then -- 18_0 <= 18_24
196       nDC <= to_unsigned(450,9);
197     elsif (ACC(17 downto 0) < 50) then -- 18_0 <= 18_24
198       nDC <= to_unsigned(50,9);
199     else
200       nDC <= unsigned(ACC(8 downto 0)); -- 9_0 <= 18_24
201     end if;
202     nESTADO <= REPOSO;
203 end case;

```

Fig. 11. Máquina de estados en coma fija con fixed_pkg.

3.3 Implementación en coma flotante con float_pkg

En este apartado se estudia la implementación en coma flotante utilizando la librería **float_pkg**. Para su implementación ha sido de gran ayuda lo explicado en [6] y [7].

El formato en coma flotante está formado por un primer bit de signo, una cierta cantidad de bits que representan el exponente y los bits restantes para la mantisa. Habitualmente se utilizan dos formatos dependiendo de la precisión deseada y están estandarizados por el IEEE, se muestran en la Fig. 12. También es posible utilizar un tamaño personalizado.

	signo	Exponente	Mantisa
Precisión simple	1 bit	8 bits	23 bits
Precisión doble	1 bit	11 bits	52 bits

Fig. 12. Estándares de representación en coma fija según IEEE 754.

El diseño se ha basado en la utilización del formato estándar de 32 bits. Todas las señales tienen el mismo formato, por lo que su sintaxis y comprensión resultan muy sencillas.

En la Fig. 13 se muestra la declaración de las señales en formato **float** de 32 bits y las señales de entrada y salida del bloque de control, que conservan el formato **unsigned**. La inicialización de una señal ó constante de tipo **float32** necesita la función **to_float**.

```

63  -- SEÑALES DE E/S DEL CONTROLADOR
64  signal REFERENCE: unsigned(8 downto 0) := to_unsigned(194,9); --Consigna
65  signal nDC, DC : unsigned(8 downto 0); -- Duty cuantizado
66  signal nDutyC, DutyC: unsigned (8 downto 0); -- Duty command final
67
68  -- SEÑALES PARA EL CONTROLADOR EN COMA FLOTANTE USANDO FLOAT_PKG
69  signal nACC, ACC: float32;
70  signal nERROR0, nERROR1, nERROR2, ERROR0, ERROR1, ERROR2 : float32;
71  signal nDUTY1, nDUTY2, DUTY1, DUTY2 : float32;
72  signal nMUL1, MUL1 : float32;
73  signal nMUL2, MUL2 : float32;
74  signal nPRODUCTO, PRODUCTO : float32;
75  signal nACCnormalizado, ACCnormalizado: float32;
76
77  -- CONSTANTES EN COMA FLOTANTE USANDO FLOAT_PKG
78  constant b2 : float32 := to_float (3.480 *6.6);
79  constant b1 : float32 := to_float (-7.658 *6.6);
80  constant b0 : float32 := to_float (4.197 *6.6);
81  constant a2 : float32 := to_float (0.5182);
82  constant a1 : float32 := to_float (-1.5182);

```

Fig. 13. Declaración de señales en coma flotante.

La máquina de estados de la Fig. 14 desarrolla la sucesión de operaciones de multiplicación, suma y acumulación. Todas las señales tienen el formato **float32**, por tanto, no es necesario efectuar ninguna adaptación entre ellas y el resultado. El código queda limpio y perfectamente legible.

La conversión entre señales de tipo **float32** a **unsigned** se efectúa con la función **to_unsigned**. En cambio, para convertir una señal de tipo **unsigned** a **float32** es necesario primero convertirla a **signed** y después utilizar la función **to_float**.

```

167 case ESTADO is
168   when REPOSO =>
169     if (START_GC = '1') then
170       nERROR0 <= to_float(signed(REFERENCE) - (signed('0'&DA)));
171       nESTADO <= E0;
172     end if;
173   when E0 =>
174     nMUL1 <= ERROR0;
175     nMUL2 <= b0;
176     nESTADO <= E1;
177   when E1 =>
178     nACC <= MUL1 * MUL2;
179     nMUL1 <= ERROR1;
180     nMUL2 <= b1;
181     nESTADO <= E2;
182   when E2 =>
183     nPRODUCTO <= MUL1 * MUL2;
184     nMUL1 <= ERROR2;
185     nMUL2 <= b2;
186     nESTADO <= E3;
187   when E3 =>
188     nACC <= PRODUCTO + ACC;
189     nPRODUCTO <= MUL1 * MUL2;
190     nMUL1 <= DUTY1;
191     nMUL2 <= -a1;
192     nESTADO <= E4;
193   when E4 =>
194     nACC <= PRODUCTO + ACC;
195     nPRODUCTO <= MUL1 * MUL2;
196     nMUL1 <= DUTY2;
197     nMUL2 <= -a2;
198     nESTADO <= E5;
199   when E5 =>
200     nACC <= PRODUCTO + ACC;
201     nPRODUCTO <= MUL1 * MUL2;
202     nESTADO <= E6;
203   when E6 =>
204     nACC <= PRODUCTO + ACC;
205     nESTADO <= E7;
206   when E7 =>
207     --Actualizar valores
208     nERROR1 <= ERROR0;
209     nERROR2 <= ERROR1;
210     nDUTY1 <= ACC;
211     nDUTY2 <= DUTY1;
212     nESTADO <= E8;
213   when E8 =>
214     if (ACC > to_float(450.0)) then
215       nDC <= to_unsigned(450,9);
216     elsif (ACC < to_float(50.0)) then
217       nDC <= to_unsigned(50,9);
218     else
219       nDC <= to_unsigned (ACC,9);
220     end if;
221     nESTADO <= REPOSO;
222 end case;

```

Fig. 14. Máquina de estados en coma flotante.

Esta versión en coma flotante ha sido problemática de implementar. Pese a funcionar perfectamente en simulación, la utilización de la librería de coma flotante de Vivado da lugar a una síntesis errónea. Varias alertas durante la síntesis sobre construcciones no sintetizables en la propia librería advierten de ello y se comprueba en la modulación que produce la FPGA, que es completamente aleatoria. Para corroborar que efectivamente es problema de la síntesis, se compara el perfil de modulación y la evolución de la variable a controlar del código VHDL inicial, Fig. 15, y del archivo generado tras la síntesis, Fig. 16.

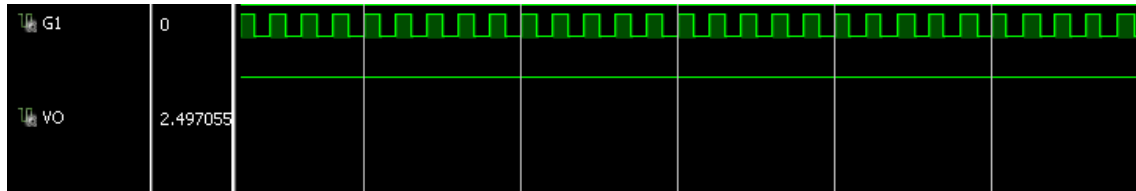


Fig. 15. Perfil de modulación y tensión de salida en simulación pre-síntesis.

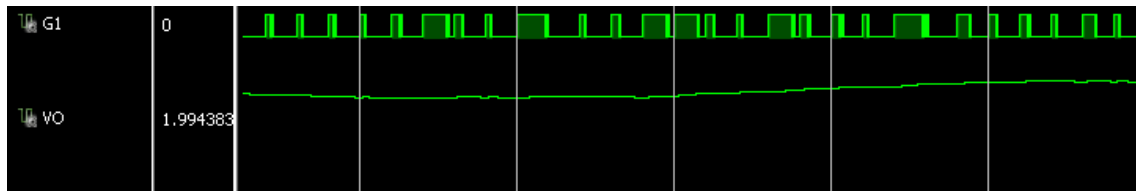


Fig. 16. Perfil de modulación y tensión de salida en simulación post-síntesis.

Para solucionar el problema, se ha utilizado una herramienta ajena a Vivado para sintetizar el diseño, ha sido “Mentor Graphics Precision RTL Synthesis”.

Con Precision Synthesis se obtiene un nuevo archivo post-síntesis completamente distinto al que proporciona Vivado. Para comprobar que la síntesis es correcta se repite la operación de simulación. Esta vez, la simulación post-síntesis coincide con la simulación inicial de la Fig. 15.

Al sintetizar el diseño con esta herramienta aparece un nuevo problema, el timing report advierte de los importantes retrasos que hay en las operaciones en coma flotante, hasta 32 ns de retraso entre lógica combinatorial y propagación de señal debido a las operaciones en coma flotante.

La solución se ha realizado separando las operaciones de multiplicación y suma en bloques distintos y dividiendo la frecuencia de los biestables que intervienen en las operaciones. De esta manera, dichos biestables funcionarán a 25 MHz (40 ns) que darán el tiempo suficiente para obtener los resultados esperados en las operaciones en coma fija.

Finalmente, el controlador en coma flotante ya es funcional en la FPGA. El código completo puede consultarse en el punto correspondiente de los anexos.

3.4 Implementación en coma flotante con float_pkg, sencilla

La preparación del diseño anterior puede ser costosa pese a utilizar la librería float. Por ello, se presenta a continuación una versión más sencilla de implementar en la que todos los cálculos del controlador se plantean en una única expresión, Ecuación 7, sin utilizar la estructura MAC.

$$duty0 = -a1 * duty1 - a2 * duty2 + b0 * error0 + b1 * error1 + b2 * error2;$$

Ecuación 7. Ecuación del controlador.

Los problemas que plantea esta expresión son un enorme retraso combinacional y la utilización de más recursos de la FPGA. Para solucionar el primer problema se plantea mantener la expresión anterior un tiempo suficiente para que toda la lógica combinacional actúe y pueda dar un resultado correcto. La máquina de estados resultante se muestra en la Fig. 17. El estado E1 mantiene la operación hasta que el temporizador alcance el valor N3. El tiempo que dure este estado deberá ser superior al retraso combinacional que genere la operación que, según Precision, es de unos 120ns.

```

154 case ESTADO is
155   when REPOSO =>
156     if (START_GC = '1') then
157       n_error <= to_float(signed(REFERENCE) - (signed('0'&DA)));
158       nESTADO <= E0;
159     end if;
160   when E0 =>
161     --Actualizar valores
162     n_error0 <= error;
163     n_error1 <= error0;
164     n_error2 <= error1;
165     n_duty1 <= duty0;
166     n_duty2 <= duty1;
167     nESTADO <= E1;
168   when E1 =>
169     n_duty0 <= error0*b0 + error1*b1 + error2*b2 - duty1*a1 - duty2*a2;
170     if (TIMER = N3) then
171       nESTADO <= E2;
172     end if;
173   when E2 =>
174     if (duty0 > to_float(450.0)) then
175       nDC <= to_unsigned(450,9);
176     elsif (duty0 < to_float(50.0)) then
177       nDC <= to_unsigned(50,9);
178     else
179       nDC <= to_unsigned(duty0,9);
180     end if;
181     nESTADO <= REPOSO;
182 end case;

```

Fig. 17. Máquina de estados en coma flotante.

La conversión de flotante a tipo entero sin signo se ha hecho esta vez a través de la operación **to_unsigned**. Esta opción es mucho más fácil de implementar y desde luego más legible que la planteada en la Fig. 14 del punto anterior.

3.5 Implementación con bloques IP float

Vivado Design Suite está muy enfocado al diseño apoyado en bloques IP (Intellectual Property). Estos bloques son componentes parametrizables que pueden ser instanciados desde el diseño VHDL.

En esta nueva versión del control se utiliza un bloque IP capaz de hacer operaciones en coma flotante. Su parametrización permite configurar el bloque para que efectúe un producto entre sus dos entradas A y B y al resultado le suma la entrada C. Este bloque es muy similar a la estructura MAC planteada en la Tabla 1, se muestra en la Fig. 18.

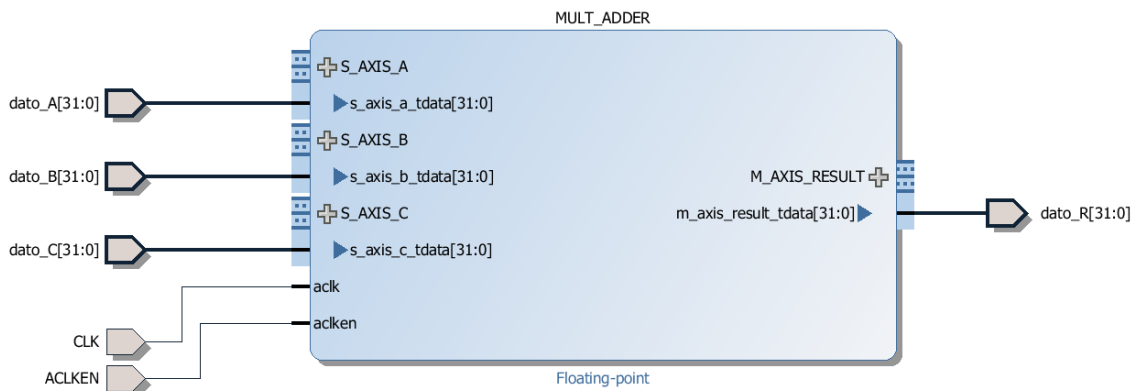


Fig. 18. Bloque IP multiplicador-sumador en coma flotante.

El bloque opera con señales de tipo **float** en formato de 32 bits. Para generar las constantes sin utilizar la librería float (que daba problemas en la versión anterior) es posible utilizar varios bloques IP de coma flotante, configurados como conversores de coma fija a coma flotante. Lo mismo se ha hecho para convertir el formato del error y el resultado acumulado. Para este último se ha configurado el bloque como conversor de coma flotante a entero. La nueva declaración de los coeficientes del controlador se muestra en la Fig. 19.

```

100  -- CONSTANTES EN COMA FIJA USANDO FIXED_PKG
101  signal b2: STD_LOGIC_VECTOR (17 downto 0) := STD_LOGIC_VECTOR(to_sfixed (3.480*6.6, 6,-11));
102  signal b1: STD_LOGIC_VECTOR (17 downto 0) := STD_LOGIC_VECTOR(to_sfixed (-7.658*6.6, 6,-11));
103  signal b0: STD_LOGIC_VECTOR (17 downto 0) := STD_LOGIC_VECTOR(to_sfixed (4.197*6.6, 6,-11));
104  signal a2: STD_LOGIC_VECTOR (17 downto 0) := STD_LOGIC_VECTOR(to_sfixed (-0.5182, 1,-16));
105  signal a1: STD_LOGIC_VECTOR (17 downto 0) := STD_LOGIC_VECTOR(to_sfixed (1.5182, 1,-16));

```

Fig. 19. Declaración de constantes para los bloques IP float.

Para que los ficheros VHDL puedan interactuar con el bloque o, en otras palabras, que el bloque pueda ser instanciado desde el diseño principal, es necesario crear puertos de E/S. Estos puertos tratan al diseño IP completo como un único componente. Los puertos de un diseño IP son de tipo **std_logic_vector**. Esto obliga a que las señales del diseño VHDL sean definidas en este formato, aunque luego sean tratadas como coma flotante, coma fija, o entero. El diseño IP completo se muestra en la Fig. 20.

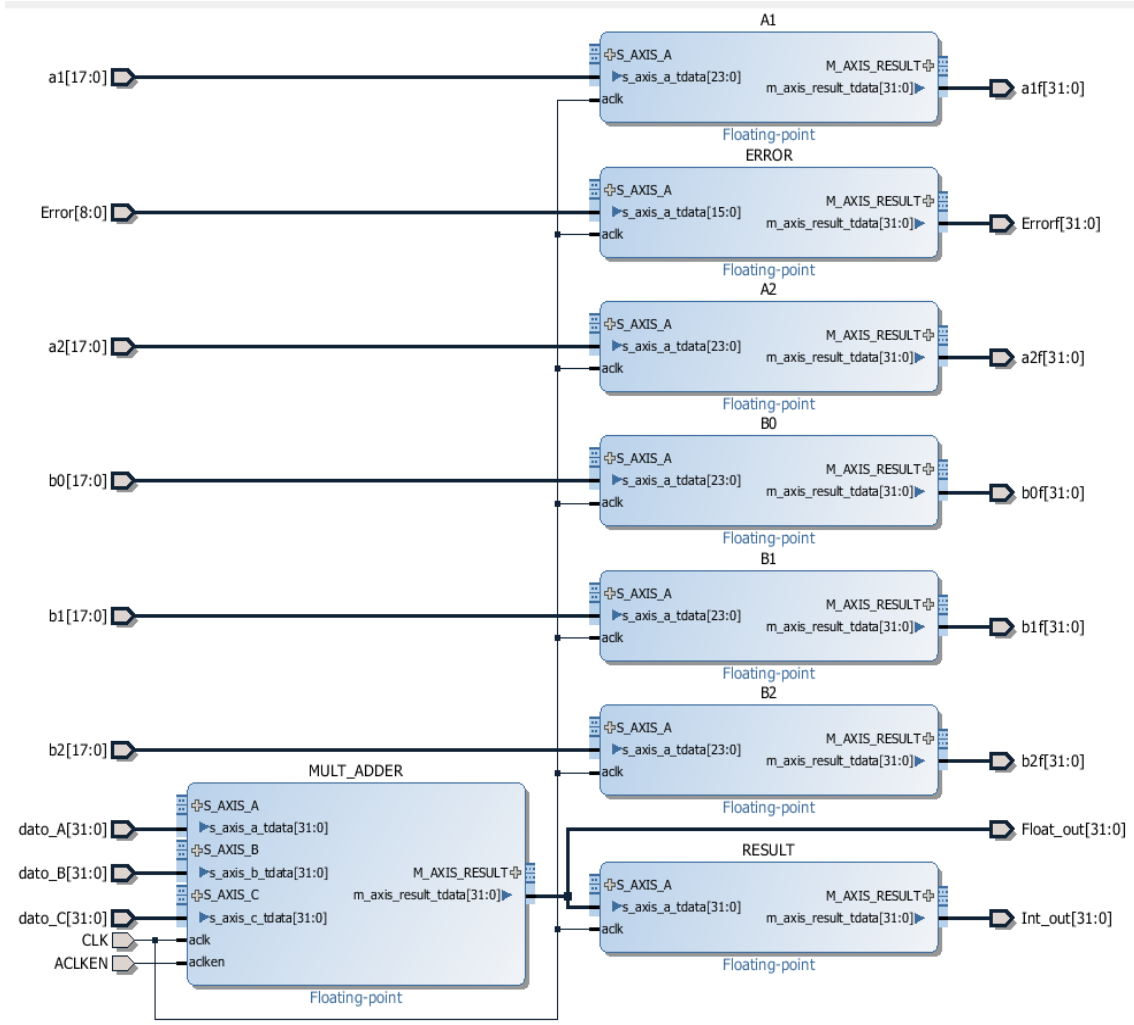


Fig. 20. Diseño de bloques IP de coma flotante.

El bloque IP “MULT_ADDER” es el encargado de realizar las operaciones de multiplicación, suma y acumulación. Por lo tanto, la máquina de estados hará la función de proporcionar ordenadamente los operadores a este bloque y de recoger su resultado una vez haya acabado el proceso de control. El resto de bloques IP tienen la función de convertir formatos.

En la Fig. 21 se muestra la máquina de estados, que va proporcionando valores al diseño IP de forma ordenada para finalmente recoger el resultado.

```

211 case ESTADO is
212     when REPOSO =>
213         if (START_GC = '1') then
214             nESTADO <= E0;
215         end if;
216     when E0 => --ESTADO NECESARIO PARA RESETEAR EL BLOQUE IP
217         nError <= std_logic_vector(to_sfixed((signed(REFERENCE) - signed('0'&DA)),8,0));
218         ndato_A <= (others => '0');
219         ndato_B <= (others => '0');
220         nESTADO <= E1;
221     when E1 =>
222         nERROR0 <= Errorf;
223         ndato_A <= (others => '0');
224         ndato_B <= (others => '0');
225         nESTADO <= E2;
226     when E2 =>
227         ndato_A <= ERROR0;
228         ndato_B <= b0f;
229         nESTADO <= E3;
230     when E3 =>
231         ndato_A <= ERROR1;
232         ndato_B <= b1f;
233         nESTADO <= E4;
234     when E4 =>
235         ndato_A <= ERROR2;
236         ndato_B <= b2f;
237         nESTADO <= E5;
238     when E5 =>
239         ndato_A <= DUTY1;
240         ndato_B <= a1f;
241         nESTADO <= E6;
242     when E6 =>
243         ndato_A <= DUTY2;
244         ndato_B <= a2f;
245         nESTADO <= E7;
246     when E7 => --ESTADO NECESARIO PARA QUE EL BLOQUE IP ACTUALICE SU SALIDA
247         nESTADO <= E8;
248     when E8 =>
249         --Actualizar valores
250         nERROR1 <= ERROR0;
251         nERROR2 <= ERROR1;
252         nDUTY1 <= Float_out;
253         nDUTY2 <= DUTY1;
254         nESTADO <= E9;
255     when E9 =>
256         nESTADO <= E10;
257     when E10 =>
258         --Cuantizador, coge solo la parte entera
259         if (signed(Int_out) > 450) then
260             nDC <= to_unsigned(450,9);
261         elsif (signed(Int_out) < 50) then
262             nDC <= to_unsigned(50,9);
263         else
264             nDC <= unsigned(Int_out(8 downto 0));
265         end if;
266         nESTADO <= REPOSO;
267     end case;

```

Fig. 21. Máquina de estados con el operador IP de coma flotante.

3.6 Implementación con MicroBlaze

En este último planteamiento se estudia la utilización en el diseño de un microcontrolador soft-core. Se trata de implementar un sistema microcontrolador junto a periféricos hardware en el mismo chip. El soft-core utilizado es el mismo que el descrito en [8], MicroBlaze.

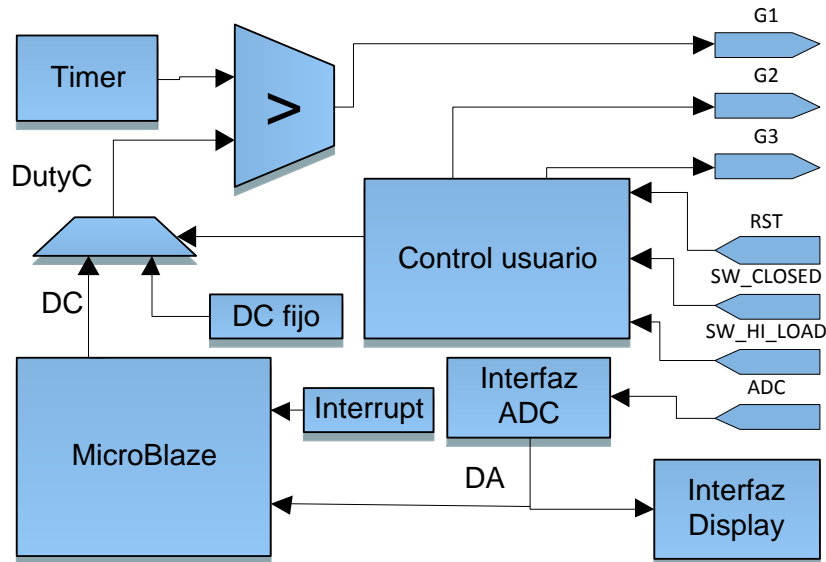


Fig. 22. Diagrama de bloques con MicroBlaze.

La nueva organización del circuito a nivel de bloques se muestra en la Fig. 22. Se mantiene la planificación temporal planteada en las otras versiones. El nuevo diseño elimina el bucle de control, que es absorbido por el microcontrolador “MicroBlaze”. El contador genera una interrupción en MicroBlaze, éste lee el dato actual de tensión de salida V_o proporcionado por el conversor ADC y calcula el nuevo duty “DC” a aplicar sobre el Buck.

En Vivado existen dos opciones a la hora de incorporar el soft-core al diseño, MicroBlaze MCS y MicroBlaze. En la primera se utiliza un único bloque, en el que está incluido el procesador MicroBlaze junto a sus periféricos formando un microcontrolador, de ahí las siglas MCS (MicroController System). El problema es que se trata de un microcontrolador sencillo donde se pueden configurar pocas opciones. En concreto, el problema sobre la aplicación planteada está en no poder habilitar la FPU (Floating Point Unit), que es fundamental para realizar operaciones de coma flotante en tiempos aceptables para el control del Buck.

La segunda opción, la elegida, consiste en utilizar como punto de partida el bloque MicroBlaze, que requerirá de bloques IP adicionales para hacer funcional el sistema. Por parte del usuario, solo es necesario añadir bloques GPIO para poder conectar puertos de entrada y salida al esquema y ejecutar la opción de conexión automática. Vivado añade bloques de memoria, bloques de control, gestión de reset del sistema y un bloque de depurado. El diseño resultante se muestra en la Fig. 23.

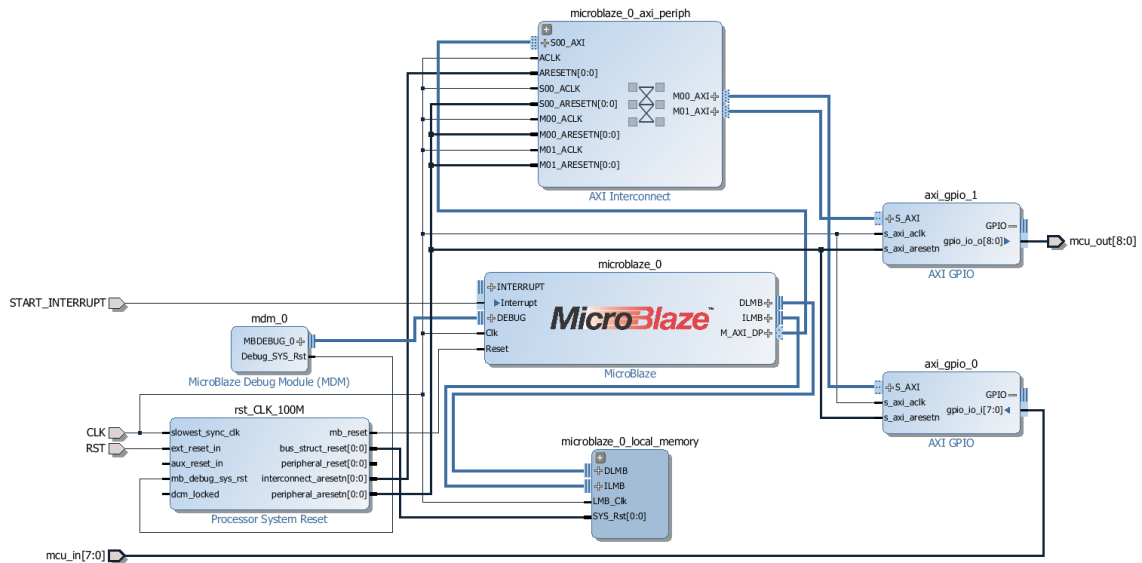


Fig. 23. Diseño IP de MicroBlaze.

Una vez obtenido el diseño hardware (soft-core + periféricos VHDL), es necesario elaborar el programa que ejecutará el microcontrolador. La implementación del código se realiza en una herramienta externa a Vivado llamada SDK, Software Development Kit. En ella es posible escribir el código en C/C++. Antes de empezar a trabajar con el SDK es necesario exportar el diseño hardware desde Vivado, lo que permitirá al SDK obtener la información necesaria para generar las librerías y soporte necesarios para la aplicación a desarrollar.

El planteamiento del código C es el siguiente. En primer lugar, se declaran todas las coeficientes y variables, véase Fig. 24. En el bucle principal se configura la interrupción que será llamada por el contador descrito en hardware y entrará en un bucle while infinito a espera de recibir la interrupción. Ajena al bucle principal se encuentra la función ISR en la que se desarrolla el código C equivalente al descrito por una máquina de estados en las versiones anteriores. Todas las operaciones y conversiones de formato se realizan aquí, de este modo se evita utilizar la librería de flotantes que daba problemas en Vivado. La rutina de interrupción puede verse en la Fig. 25.

```

15  XGpio GPInput, GPOutput; /* The Instance of the GPIO Driver */
16  uint32_t ADC, DC;
17
18  float ADC_f;
19  float error0 = 0.0;
20  float error1 = 0.0;
21  float error2 = 0.0;
22  float duty0 = 0.0;
23  float duty1 = 0.0;
24  float duty2 = 0.0;
25
26  const float Ref = 194.0;
27  const float b2 = 3.480 *6.6; //22.968
28  const float b1 = -7.658 *6.6; //-50.5428
29  const float b0 = 4.197 *6.6; //27.7002
30  const float a2 = 0.5182;
31  const float a1 = -1.5182;
32  const float duty_max = 450.0;
33  const float duty_min = 50.0;

```

Fig. 24. Declaración de variables en C.

```

46  void mi_ISR (void)
47  {
48      //Leer ADC
49      ADC = XGpio_DiscreteRead(&GPInput, 1);
50      ADC_f = (float)ADC;
51
52      //Calcular error
53      error0 = (Ref - ADC_f);
54
55      //Ecuacion del controlador
56      duty0 = -a1*duty1 - a2*duty2 + b0*error0 + b1*error1 + b2*error2;
57
58      //Actualizacion de variables
59      duty2 = duty1;
60      duty1 = duty0;
61      error2 = error1;
62      error1 = error0;
63
64      //Cuantizador para el ciclo de servicio
65      if (duty0 > duty_max)
66          duty0 = duty_max;
67      else if (duty0 < duty_min)
68          duty0 = duty_min;
69
70      //Salida del controlador
71      DC = (int) duty0;
72      XGpio_DiscreteWrite(&GPOutput, 1, DC);
73  }

```

Fig. 25. Rutina de control en C.

Es muy destacable que el MicroBlaze recibe la lectura del ADC y envía la respuesta DC en formato **unsigned** desde el hardware en VHDL. Es decir, el procesador tendrá que convertir el dato de entrada a formato **float** para calcular el resultado y convertirlo de nuevo a formato **unsigned** antes de escribirlo en la salida. Este conjunto de operaciones da lugar a un tiempo de cálculo del controlador mucho mayor que en las versiones anteriores. Se explica con detalle en el punto 4 con su simulación.

4 Resultados de simulación y validación experimental

Se explican a continuación las diferentes simulaciones realizadas en los diferentes diseños. Se resumen en un único apartado por ser resultados prácticamente idénticos en todas ellas, a excepción de la versión con MicroBlaze, como se detalla más adelante.

En la Fig. 26 se muestra una simulación genérica de las tareas que realiza la FPGA. En ella se ve como el "TIMER" se encarga de su coordinación. En primer lugar, se lanza la conversión ADC con la señal "START_ADC", pasado un tiempo se obtiene el dato leído "DA". De aquí en adelante pueden comenzar los cálculos del controlador con la señal "START_GC". La máquina de estados entra en funcionamiento y al final arroja un resultado en "DC". Este Duty Cycle se hace efectivo en el ciclo de "TIMER" siguiente con la señal "DutyC".

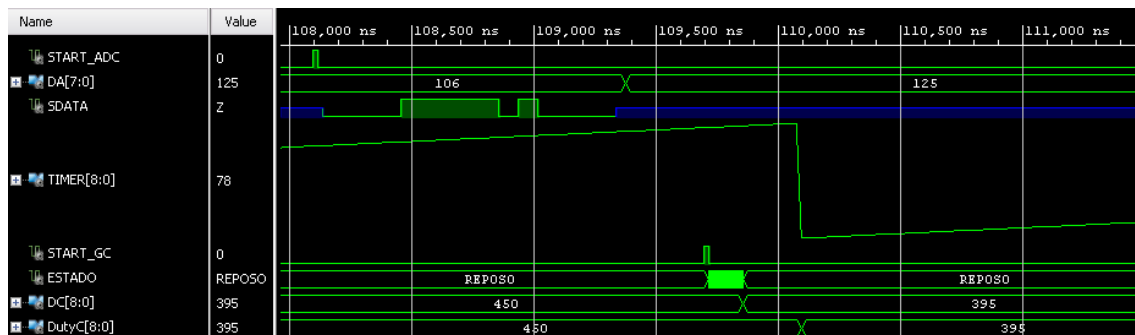


Fig. 26. Simulación genérica de procesos dentro de la FPGA.

Para resaltar el tiempo de cálculo de la máquina de estados se efectúa la simulación mostrada en la Fig. 27. Los marcadores azules y la regla temporal amarilla resaltan que el nuevo resultado se obtiene en 0,52 μ s. Este resultado es similar en todas las versiones (varía en función del número de estados para llegar al resultado), salvo la implementada con MicroBlaze.

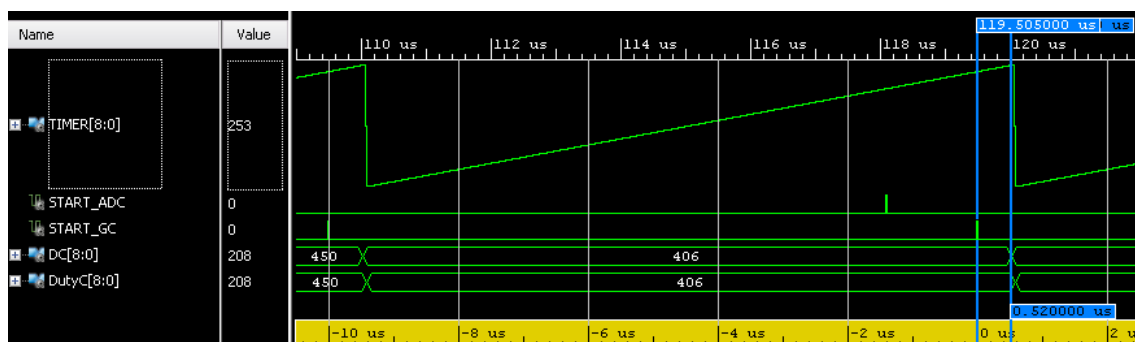


Fig. 27. Simulación de tiempo de cálculo por hardware con la librería float.

Puede verse en la Fig. 28 que el tiempo transcurrido desde que el MicroBlaze recibe el dato de entrada (mcu_in) hasta que da un resultado (mcu_out) es de hasta 7,33 μ s. Además, hay que tener en cuenta que el microcontrolador está funcionando a 100 MHz y no a 50 como el resto del hardware.

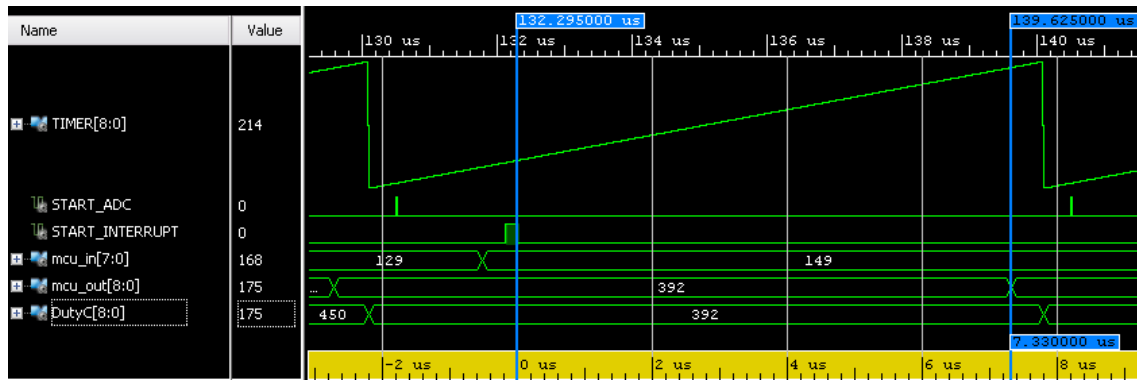


Fig. 28. Simulación de tiempo de cálculo con MicroBlaze.

Este tiempo de cálculo tan grande tiene implicaciones, como peor respuesta transitoria del controlador y que el error no se estabilice en cero. Además, tomar la medida con el ADC cerca de las conmutaciones puede producir ruido en la medida. Algunos de estos problemas se manifiestan comparando las simulaciones a gran escala de las diferentes soluciones.

En las Fig. 29 y Fig. 30 se muestran las simulaciones para la versión en coma fija y MicroBlaze respectivamente. En ellas se observan la variable a controlar V_o (tensión de salida del convertidor), el duty cycle “DC” que genera el controlador (“mcu_out” en caso de MicroBlaze), la señal de Error (no accesible con MicroBlaze) y la carga R_o . Puede verse que, en ambos, la respuesta del sistema produce una sobreoscilación en el arranque, pero los picos iniciales son distintos. A los 4 ms se produce un cambio de carga de 5 a 2,5 Ω y se produce una pequeña perturbación en V_o . Se observa en la versión con MicroBlaze que el error y, por tanto, “DC” (mcu_out), no se estabilizan.

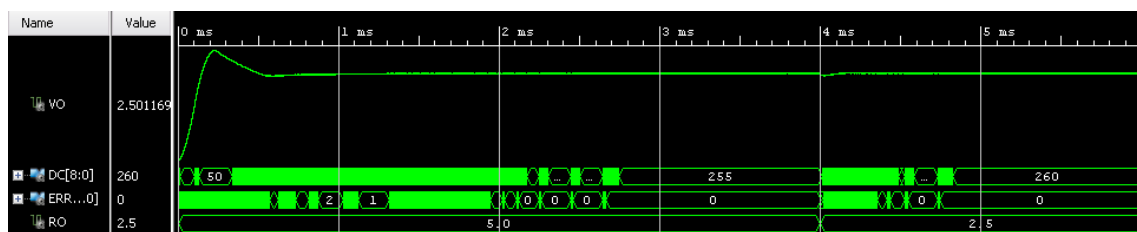


Fig. 29. Simulación a gran escala del controlador en coma fija.

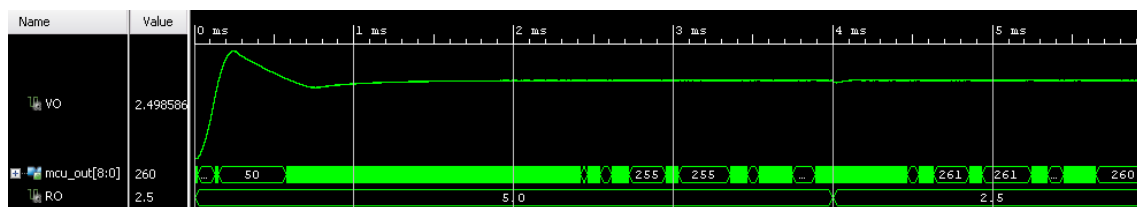


Fig. 30. Simulación a gran escala del controlador en MicroBlaze.

En la Tabla 3 se recogen los parámetros transitorios de todas las alternativas. Donde V_p es el pico inicial de arranque con $R_o = 5 \Omega$, T_{RP} es el tiempo en alcanzar el régimen permanente (error 0) con dicha carga, T_c es el tiempo de cálculo del controlador, F_{CLK} es la frecuencia de los biestables que intervienen en el cálculo, o del procesador en caso de MicroBlaze y WNS (Worst Negative Slack) es el peor tiempo que presenta la lógica combinatorial en algún punto.

Las dos primeras soluciones conducen a resultados idénticos. La opción con la librería en coma flotante tiene peores tiempos y peor respuesta transitoria al haber separado las operaciones de multiplicación y suma (mayor T_C) y operar a mitad de frecuencia debido al WNS. La alternativa con MicroBlaze tiene los peores resultados de control debido a un T_C excesivo, el régimen permanente no llega a alcanzarse, aparecen continuas oscilaciones en el error.

	Coma fija	Fixed	Float	Float senci.	Float IP	MicroBlaze
V_P (V)	3,15	3,15	3,15	3,15	3,15	3,44
T_{RP} (ms)	2,74	2,74	2,98	2,72	2,5	-
T_C (ns)	140	140	360	160	220	7330
F_{CLK} (MHz)	50	50	25	50	50	100
WNS (ns)	13,22	6,16	21,5	113,6	12,75	1,67

Tabla 3. Resumen de variables transitorias según alternativa de implementación.

Una vez obtenidos los resultados de simulación en cada una de las soluciones, se han comprobado en el sistema real, con el montaje de la Fig. 31.

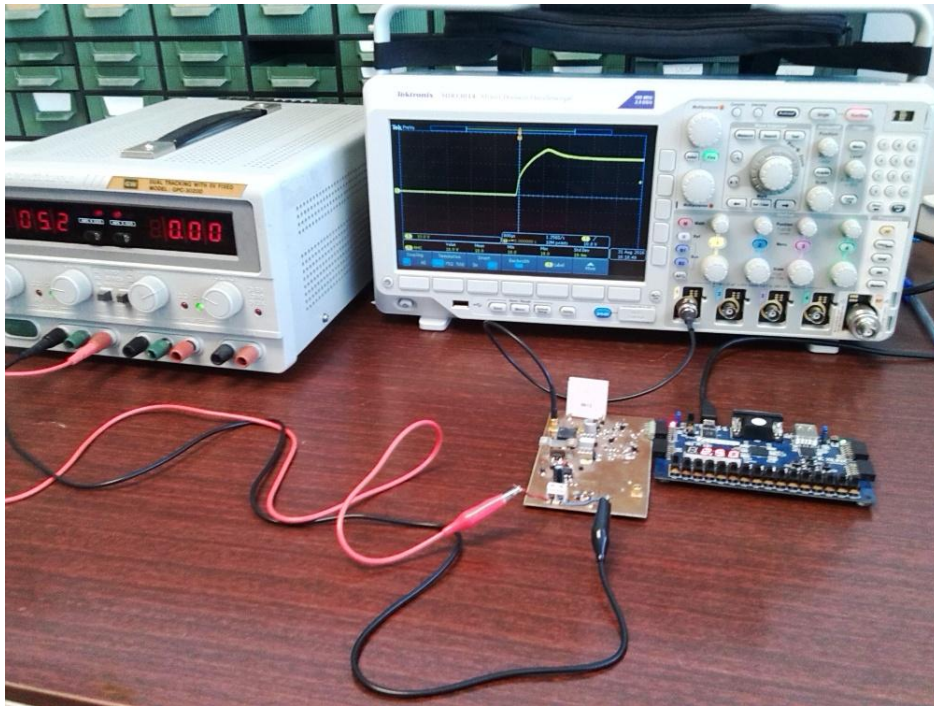


Fig. 31. Montaje para verificación en laboratorio.

En el osciloscopio se capturan los mismos instantes que los vistos en simulación con la tensión de salida del convertidor, el arranque con carga de 5Ω , Fig. 32, y el cambio de carga a $2,5 \Omega$, Fig. 33.

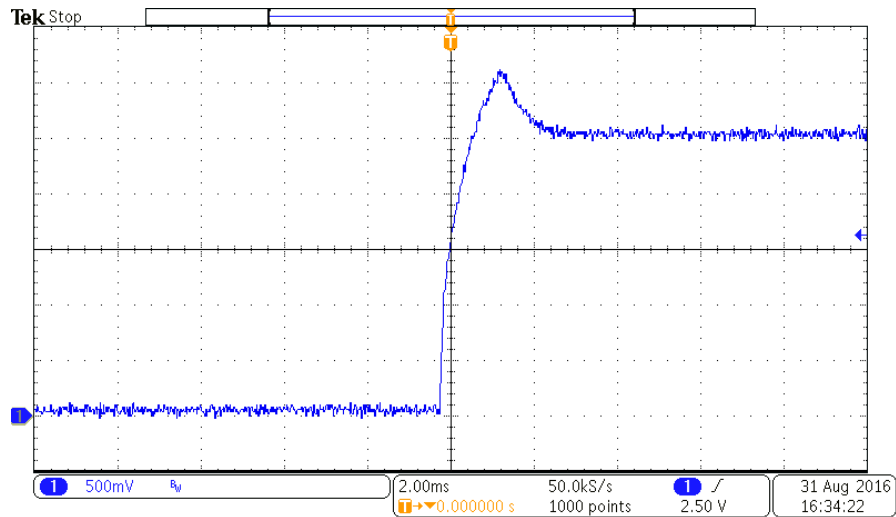


Fig. 32. Osciloscopio, arranque del controlador.

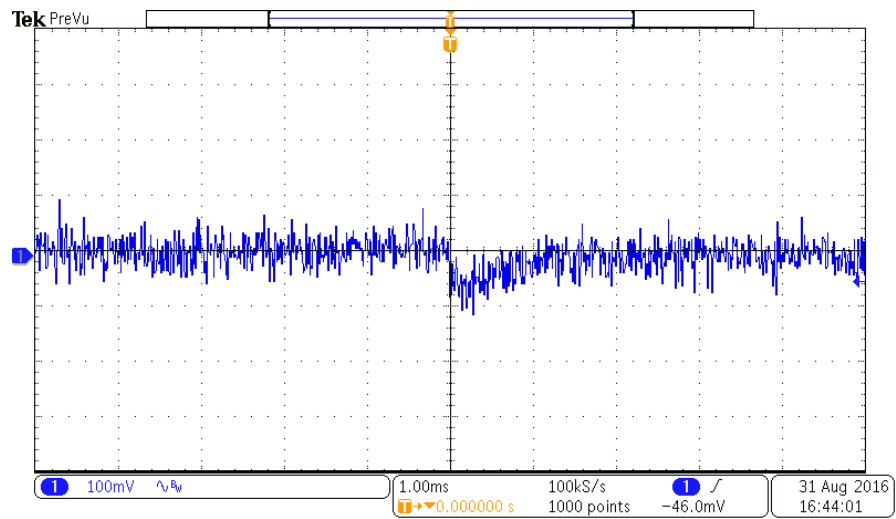


Fig. 33. Osciloscopio, cambio de carga.

Con todas estas pruebas se da por concluido el trabajo. Se ha llegado a versiones funcionales en todas las alternativas planteadas.

Por último, se presentan los resultados obtenidos a nivel de recursos en cada una de las versiones. Estos resultados se muestran en la Tabla 4, con valores concretos y en la Tabla 5, con valores porcentuales.

Recurso	Coma fija	Fixed	Float	Float senc.	Float IP	MicroBlaze
LUT	225	449	2667	6674	1711	2103
LUTRAM	-	-	-	-	15	131
FF	229	230	303	714	1169	1799
BRAM	-	-	0.5	0.5	-	16
DSP	1	1	2	7	2	5
IO	22	22	22	22	22	22
BUFG	1	1	1	1	2	3

Tabla 4. Utilización de recursos.

Recurso	Coma fija	Fixed	Float	Float senc.	Float IP	MicroBlaze
LUT	1,08	2,16	12,82	32,09	8,23	10,11
LUTRAM	0,00	0,00	0,00	0,00	0,16	1,36
FF	0,55	0,55	0,73	1,72	2,81	4,32
BRAM	0,00	0,00	1,00	1,00	0,00	32,00
DSP	1,11	1,11	2,22	7,78	2,22	5,56
IO	20,75	20,75	20,75	20,75	20,75	20,75
BUFG	3,13	3,13	3,13	3,13	6,25	9,38

Tabla 5. Utilización de recursos en valor porcentual.

Se observa que, en las versiones iniciales, la cantidad y variedad de recursos que utiliza Vivado para implementar el diseño es muy reducida. Conforme se va avanzando en el desarrollo de nuevas alternativas, la cantidad de recursos necesarios aumenta. En particular, en las alternativas más sencillas o de más alto nivel, la cantidad de recursos es mayor. Estas son la versión con la librería float_pkg (versión sencilla) y la versión con MicroBlaze.

5 Conclusiones y líneas futuras

En este último apartado se recogen las aportaciones de este Trabajo Fin de Máster y las conclusiones extraídas. Además, se proponen algunas líneas futuras como continuación al trabajo realizado.

5.1 Conclusiones

Este Trabajo Fin de Master tiene como objetivo explorar una serie de alternativas para la implementación de un controlador en un convertidor electrónico de potencia. Se trata de plantear soluciones más sencillas a la tradicional en coma fija utilizada en asignaturas de este ámbito y, además, utilizar herramientas actuales, como el entorno de desarrollo Vivado y una FPGA de la serie 7 de Xilinx.

Las conclusiones inmediatas que se extraen al comparar las alternativas estudiadas son en cuanto a:

- Tiempos de diseño. Alternativas que utilizan librerías de coma fija o coma flotante, bloques IP o soft-cores, dan lugar a diseños más sencillos y rápidos de implementar.
- Coste de recursos. La utilización de estas alternativas conlleva un consumo mayor de recursos disponibles en la FPGA.

La elección de una u otra alternativa al comenzar un diseño depende del perfil del propio ingeniero. Pueden plantearse dos: uno generalista y otro especializado.

- Con un perfil generalista, como podría ser el de un ingeniero industrial, es recomendable utilizar alternativas de más alto nivel que no supongan un tiempo de desarrollo excesivo para el diseñador. Por ejemplo, la utilización de librerías de coma flotante, o la inclusión un microcontrolador en el diseño como MicroBlaze.
- Con un perfil más especializado, como el de un ingeniero electrónico, es beneficioso profundizar en diseños más eficientes en cuanto a recursos. Las mejores alternativas pueden ser las que utilizan las librerías de coma fija o coma flotante con reutilización de recursos (estructura MAC). La opción en coma fija tradicional, pese a ser la mejor en cuanto a recursos, es la más costosa para el diseñador.

Algunos problemas que han surgido en este TFM resaltan la importancia de varios factores que pueden ser problemáticos durante el diseño y que un estudiante podría no tener en cuenta.

- Problemas en cuanto a síntesis. Se ha visto que Vivado no podía sintetizar correctamente los diseños que utilizaban la librería de coma flotante de su colección "IEEE-proposed". Como solución se ha utilizado otro compilador para este diseño, "Precision RTL Synthesis". Se pone de manifiesto la importancia de la simulación post-síntesis.
- Problemas en cuanto a timing. La utilización de operaciones en coma flotante da lugar a retrasos combinatoriales que pueden ser superiores al periodo de reloj. Es importante tener en cuenta el periodo con el que se actualizan los biestables para que el diseño funcione.

- Problemas en cuanto a un tiempo de cálculo excesivo. La utilización de un microcontrolador en el lazo de control provoca tiempos de cálculo importantes que dan lugar a una peor respuesta transitoria del sistema.

5.2 Líneas futuras

El planteamiento de nuevas alternativas está enfocado a que los estudiantes puedan conocer técnicas actuales y sencillas, que les puedan ser de ayuda en su futuro como ingenieros. Algunas líneas de trabajo serían:

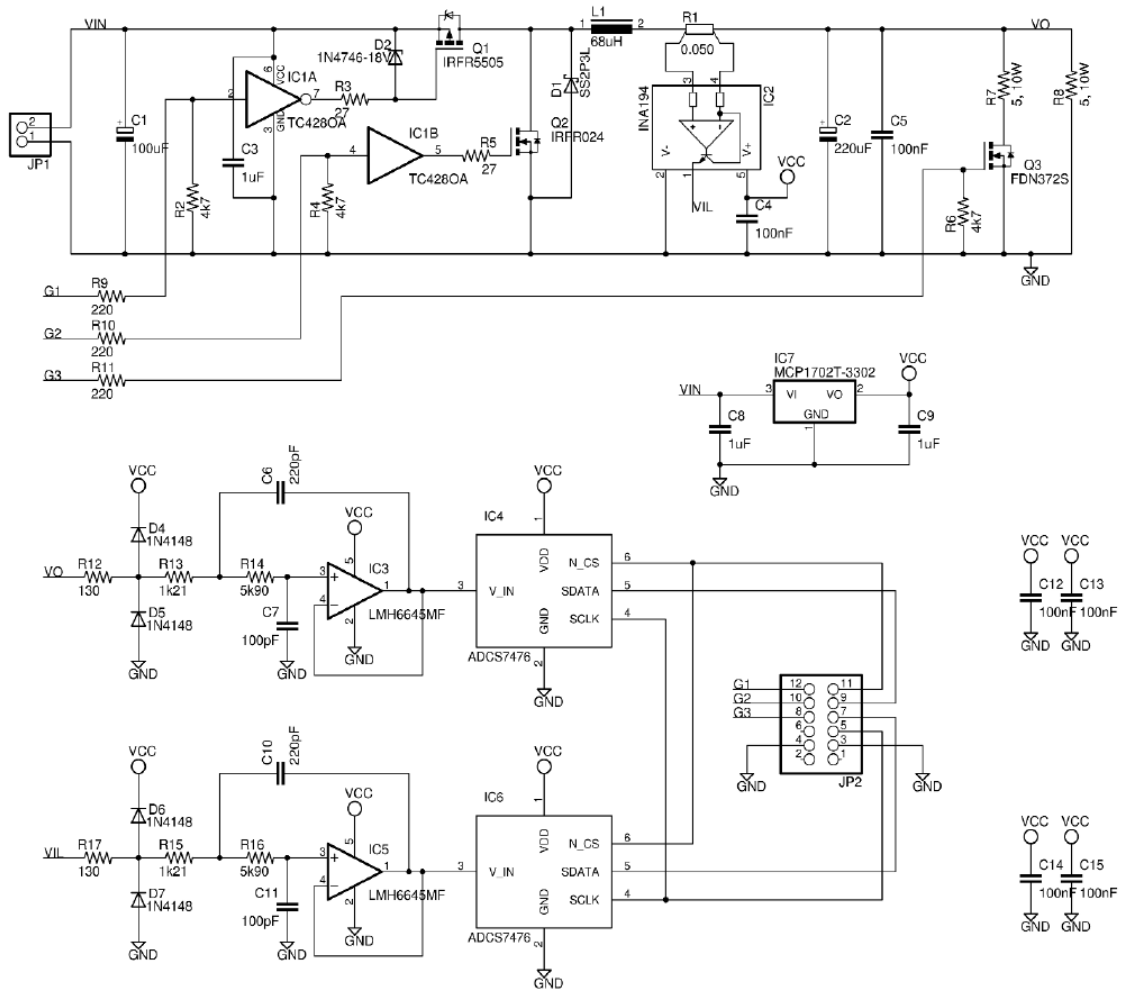
- Plantear una serie de prácticas de laboratorio en las que se incluya la utilización de las alternativas aquí planteadas. Más adelante, sería necesario evaluar si estas nuevas prácticas son beneficiosas para los estudiantes.
- Explorar otras técnicas que no se han tenido en cuenta en este TFM. Soluciones de generación automática de código, como las basadas en herramientas de Matlab (HDL Coder, XSG) o las herramientas de síntesis de alto nivel (de C a HDL).

6 Referencias

- [1] J. J. Rodríguez-Andina, M. J. Moure, y M. D. Valdes, «Features, Design Tools, and Application Domains of FPGAs», *IEEE Trans. Ind. Electron.*, vol. 54, n.º 4, pp. 1810-1823, ago. 2007.
- [2] J. J. Rodríguez-Andina, M. D. Valdés-Peña, y M. J. Moure, «Advanced Features and Industrial Applications of FPGAs; A Review», *IEEE Trans. Ind. Inform.*, vol. 11, n.º 4, pp. 853-864, ago. 2015.
- [3] «Xilinx». [En línea]. Disponible en: <http://www.xilinx.com/>.
- [4] J. I. Artigas, L. A. Barragán, U. Isidro, D. Navarro, y Ó. Lucía, «FPGA-based digital control implementation of a power converter for teaching purposes», en *2011 5th IEEE International Conference on e-Learning in Industrial Electronics (ICELIE)*, 2011, pp. 55-60.
- [5] D. Bishop, «Fixed point package user`s guide». .
- [6] D. Bishop, «Floating point package user`s guide», *ResearchGate*.
- [7] I. Urriza, L. A. Barragán, J. I. Artigas, D. Navarro, y O. Lucía, «FPGA implementation of a digital controller for a dc-dc converter using floating point arithmetic», en *35th Annual Conference of IEEE Industrial Electronics, 2009. IECON '09*, 2009, pp. 2913-2918.
- [8] I. Urriza, L. A. Barragán, D. Navarro, J. I. Artigas, O. Lucía, y O. Jiménez, «FPGA Embedded Soft-Core Processor Implementation of a Digital Controller for a DC-DC Converter», *ResearchGate*, ene. 2009.

7 Anexos

7.1 Esquema del convertidor Buck



7.2 Características de la Basys3

- FPGA Artix de la serie 7: XC7A35T-1CPG236C
- 33.280 bloques lógicos en 5.200 slices (cada slice contiene 4 LUTs de 6 entradas y 8 flip-flops). En total 21.800 LUT y 41.600 flip-flops.
- 1.800 Kbits para RAM.
- 5 Bloques de gestión de reloj (PLL).
- 90 DSPs.
- Posibilidad de señales de reloj internas de más de 450 MHz.
- Conversor ADC integrado en la FPGA (XADC).
- Puertos USB-JTAG para programación y comunicación de la FPGA.
- Conector Micro-B USB.
- Memoria Serial Flash.
- Conversor USB-UART Bridge.
- Salida VGA de 12-bit.
- USB HID Host para ratón, teclado y pen-drives.
- 16 interruptores.

- 16 LEDs.
- 5 pulsadores.
- 4 displays de 7 segmentos.
- 4 puertos PMOD: 3 estándar de 12 pines y 1 dual para señal XADC o estándar.

7.3 Test bench

```

LIBRARY ieee;
USE ieee.std_logic_1164.ALL;
USE IEEE.std_logic_arith.all;
use IEEE.STD_LOGIC_UNSIGNED.ALL;

ENTITY tbench IS
END tbench;

ARCHITECTURE behavior OF tbench IS
-- Component Declaration for the Unit Under Test (UUT)
COMPONENT fpga
PORT (
    CLK : IN std_logic;
    RST : IN std_logic;
    SDATA : IN std_logic;
    SW_CLOSED : IN std_logic;
    SW_HI_LOAD : IN std_logic;
    NCS : OUT std_logic;
    SCLK : OUT std_logic;
    SSEG : OUT std_logic_vector(6 downto 0);
    DP : OUT std_logic;
    ASEL : OUT std_logic_vector(3 downto 0);
    G1 : OUT std_logic;
    G2 : OUT std_logic;
    G3 : OUT std_logic
);
END COMPONENT;

--Inputs
signal CLK : std_logic := '0';
signal RST : std_logic := '0';
signal SDATA : std_logic := '0';
signal SW_CLOSED : std_logic := '1'; -- LAZO CERRADO
signal SW_HI_LOAD : std_logic := '0';
signal DATA : std_logic_vector(11 downto 0);

--Outputs
signal NCS : std_logic;
signal SCLK : std_logic;
signal SSEG : std_logic_vector(6 downto 0);
signal DP : std_logic;
signal ASEL : std_logic_vector(3 downto 0);
signal G1 : std_logic;
signal G2 : std_logic;
signal G3 : std_logic;

-- Parámetros ecs en diferencias
constant VG : real := 5.0;
constant VF : real := 0.0;
constant L : real := 68.0e-6;
constant C : real := 220.0e-6;
constant RC : real := 80.0e-3;
constant RL : real := 98.0e-3;
signal RO : real := 5.0;
constant Ts : time := 20 ns;
constant dT : real := 2.0e-8;
constant VFS : real := 3.3;
constant LSB : real := VFS/2.0**8;
constant VFSM1LSB : real:= VFS - LSB; -- LSB del conversor ADC
-- Variables de estado
signal IL, VC, VO, HVO : real := 0.0; -- Valor inicial

-- Clock period definitions
constant CLK_period : time := 10 ns;

```

```

-- Comunicacion simulada del ADC
procedure write_serial(signal DATA: in std_logic_vector(11 downto 0);
  signal NCS, SCLK: in std_logic; signal SDATA: out std_logic) is
begin
  SDATA <= 'Z';
  wait until nCS'event and nCS='0';
  for i in 2 downto 0 loop
    wait until SCLK'event and SCLK='0';
    SDATA <= '0';
  end loop;
  for i in 11 downto 0 loop
    wait until SCLK'event and SCLK='0';
    SDATA <= DATA(i);
  end loop;
  wait until SCLK'event and SCLK='0';
  SDATA <= 'Z';
end write_serial;

```

BEGIN

```

-- Instantiate the Unit Under Test (UUT)
 uut: fpga PORT MAP (
  CLK => CLK,
  RST => RST,
  SDATA => SDATA,
  SW_CLOSED => SW_CLOSED,
  SW_HI_LOAD => SW_HI_LOAD,
  NCS => NCS,
  SCLK => SCLK,
  SSEG => SSEG,
  DP => DP,
  ASEL => ASEL,
  G1 => G1,
  G2 => G2,
  G3 => G3
 );

-- G3, PERTURBACIÓN 10ms cambio de carga
SW_HI_LOAD <= '0', '1' after 6 ms;
RO <= 2.5 when SW_HI_LOAD = '1' else 5.0;
SW_CLOSED <= '1', '0' after 10 ms;

-- Clock process definitions
CLK_process :process
begin
  CLK <= '0';
  wait for CLK_period/2;
  CLK <= '1';
  wait for CLK_period/2;
end process;

-- Stimulus process
stim_proc: process
begin
  -- hold reset state for 100 ns.
  RST <= '1';
  wait for 100 ns;
  RST <= '0';
  wait for CLK_period*10;
  -- insert stimulus here
wait;
end process;

-----
-- MODELO DEL BUCK ECUACIONES EN DIFERENCIAS IL VO VC
-----
process
  variable IL_aux : real;
begin
  wait for Ts;
  if (G1 = '1') then -- q1
    IL_aux := IL*(1.0-(dT*(RL*RO+RL*RC+RC*RO)/(L*(RO+RC)))) -
    VC*((dT*RO)/(L*(RO+RC))) + (VG*dT/L);
  else --q2
    IL_aux := IL*(1.0-(dT*(RL*RO+RL*RC+RC*RO)/(L*(RO+RC)))) -

```

```

    VC*((dT*RO)/(L*(RO+RC))) - (VF*dT/L);
end if;
if (IL_aux < 0.0) then --q3
    IL_aux := 0.0;
end if;
IL <= IL_aux;
VC <= (((dT/C)*(Ro/(Ro+Rc)))*iL) + vC*(1.0-((dT/C)*(1.0/(RO+RC))));
VO <= (((RC*RO)/(RO+RC))*iL) + ((Ro/(RO+RC))*VC);
HVO <= VO;
end process;

-----
--                               ADC SIMULADO
-----

write serial(DATA,NCS,SCLK, SDATA);
-- Conversor ADC (8 bits, 3.3 V)
process (NCS) is
    variable RES: integer;
    variable VAUX : real;
begin
    if (NCS' event and NCS='0') then
        if (HVO >= VFSM1LSB) then
            VAUX := VFSM1LSB;
        elsif (HVO <= 0.0) then
            VAUX := 0.0;
        else
            VAUX := HVO;
        end if;
        end if;
        RES := integer(VAUX*((2.0**8) - 1.0) / VFSM1LSB);
        DATA <= conv_std_logic_vector(RES,8)&"0000"; -- OJO, TIENE QUE SER DA
    end if;
end process;

END;
```

7.4 Interfaz ADC

```

library IEEE;
use IEEE.STD_LOGIC_1164.ALL;
use IEEE.STD_LOGIC_ARITH.ALL;
use IEEE.STD_LOGIC_UNSIGNED.ALL;

entity adc is
  Port (SDATA : in  STD_LOGIC;
        NCS   : out STD_LOGIC;
        SCLK  : out STD_LOGIC;
        CLK   : in  STD_LOGIC;
        RST   : in  STD_LOGIC;
        START_ADC : in STD_LOGIC;
        DA    : out  STD_LOGIC_VECTOR (7 downto 0));
end adc;

architecture Behavioral of adc is
  type STATES is (IDLE, START, CK0, CK1, CK2, CK3);
  signal STATE, nSTATE: STATES;
  signal CNT, nCNT: STD_LOGIC_VECTOR (3 downto 0);
  signal DATA, nDATA: STD_LOGIC_VECTOR (14 downto 0);
  signal nDA, pDA : std_logic_vector(7 downto 0);
  signal EN : std_logic;

begin
  -- Control FFs
  process(RST, EN, CLK)
  begin
    if (RST = '1') then
      EN <= '0';
      STATE <= IDLE;
      CNT <= (others => '0');
      DATA <= (others => '0');
      pDA <= (others => '0');
    elsif (CLK'event and CLK = '1') then
      if EN = '1' then
        STATE <= nSTATE;
        CNT <= nCNT;
        DATA <= nDATA;
        pDA <= nDA;
      end if;
      EN <= NOT EN;
    end if;
  end process;

  -- Maquina de estados
  process(STATE, START_ADC, SDATA, CNT, DATA, pDA)
  begin
    nSTATE <= STATE;
    nCNT <= CNT;
    nDATA <= DATA;
    SCLK <= '1';
    NCS <= '1';
    nDA <= pDA;

    case STATE is
      when IDLE =>
        if (START_ADC = '1') then
          nCNT <= (others => '0');
          nSTATE <= START;
        end if;
      when START =>
        NCS <= '0';
        nSTATE <= CK0;
      when CK0 =>
        SCLK <= '0';
        nSTATE <= CK1;
        NCS <= '0';
      when CK1 =>
        SCLK <= '0';
        nSTATE <= CK2;
        NCS <= '0';
        if (CNT = "1111") then
          nSTATE <= IDLE;
        end if;
    end case;
  end process;
end architecture Behavioral;

```

```
        nDA <= DATA (11 downto 4); -- Solo los 8 MSB
    else
        nSTATE <= CK2;
    end if;
    when CK2 =>
        SCLK <= '1';
        NCS <= '0';
        nSTATE <= CK3;
    when CK3 =>
        nDATA (14 - conv_integer(CNT)) <= SDATA;
        nCNT <= CNT + '1';
        SCLK <= '1';
        nSTATE <= CK0;
        NCS <= '0';
    end case;
end process;
DA <= pDA;
end Behavioral;
```

7.5 Versión en coma fija

```

library IEEE;
use IEEE.STD_LOGIC_1164.ALL;
use IEEE.NUMERIC_STD.ALL;

entity fpga is
  Port(CLK: in  STD_LOGIC;
        RST: in  STD_LOGIC;
        SDATA: in  STD_LOGIC;
        SW_CLOSED: in  STD_LOGIC;
        SW_HI_LOAD: in  STD_LOGIC;
        NCS: out  STD_LOGIC;
        SCLK: out  STD_LOGIC;
        SSEG: out  STD_LOGIC_VECTOR (6 downto 0);
        DP: out  STD_LOGIC;
        ASEL: out  STD_LOGIC_VECTOR (3 downto 0);
        G1: out  STD_LOGIC;
        G2: out  STD_LOGIC;
        G3: out  STD_LOGIC
  );
end fpga;

architecture Behavioral of fpga is
  component adc2bcd is
    Port (DA: in  STD_LOGIC_VECTOR (7 downto 0);
          DO: out  STD_LOGIC_VECTOR (11 downto 0));
  end component;

  component adc is
    Port ( SDATA : in  STD_LOGIC;
          NCS    : out  STD_LOGIC;
          SCLK   : out  STD_LOGIC;
          CLK    : in  STD_LOGIC;
          RST    : in  STD_LOGIC;
          START_ADC: in  STD_LOGIC;
          DA     : out  STD_LOGIC_VECTOR (7 downto 0)
    );
  end component;

  signal DA: STD_LOGIC_VECTOR (7 downto 0);
  signal DO: STD_LOGIC_VECTOR (11 downto 0);

  -- Counter to refresh data and multiplex digits
  signal CN_DISP, nCN_DISP: unsigned (19 downto 0);
  signal START_ADC, BCD_EN: STD_LOGIC;

  -- Multiplexed Display
  signal BCD: unsigned (3 downto 0);
  signal BCD_CTL, nBCD_CTL: STD_LOGIC_VECTOR(2 downto 0);

  -- MAQUINA DE ESTADOS
  type estados is (REPOSO,E0,E1,E2,E3,E4,E5,E6);
  signal ESTADO, nESTADO: estados;

  -- SEÑALES PARA LA PLANIFICACION DEL CONTROL
  signal START_GC : std_logic; -- Señales de inicio
  signal TIMER, nTIMER : unsigned(8 DOWNTO 0); -- PWM
  constant N2 : unsigned(8 downto 0) := to_unsigned(480,9); -- Para iniciar GC
  constant N1 : unsigned(8 downto 0) := to_unsigned(400,9); -- Para iniciar ADConv

  -- SEÑALES DE E/S DEL CONTROLADOR
  signal REFERENCE: unsigned (8 downto 0) := to_unsigned(194,9); --Consigna
  signal nDC, DC : unsigned (8 downto 0);
  signal nDutyC, DutyC: unsigned (8 downto 0);
  signal nREFERENCE: unsigned (12 downto 0);

  -- SEÑALES PARA EL CONTROLADOR EN COMA FIJA
  signal nACC, ACC: signed(41 downto 0) := (others => '0'); --<42,24>
  signal nERROR0, nERROR1, nERROR2, ERROR0, ERROR1, ERROR2: signed(8 downto 0); --<9,0>
  signal nMUL1, MUL1,nDUTY1, nDUTY2, DUTY1, DUTY2 : signed(21 downto 0); -- <22,8>

  -- CONSTANTES DEL CONTROLADOR EN COMA FIJA
  signal nMUL2, MUL2: signed(17 downto 0);
  constant b2 : signed(17 downto 0) := to_signed(47038, 18); -- 3.480 * 6.6 <18,11>

```

```

constant b1 : signed(17 downto 0) := to_signed(-103512, 18); -- -7.658 * 6.6 <18,11>
constant b0 : signed(17 downto 0) := to_signed(56730, 18); -- 4.197 * 6.6 <18,11>
constant a2 : signed(17 downto 0) := to_signed(33961, 18); -- 0.5182 <18,16>
constant a1 : signed(17 downto 0) := to_signed(-99497, 18); -- -1.5185 <18,16>

-- SEÑAL DE ACTIVACION DE LOS BIESTABLES
signal EN : std_logic;

begin
U1: adc2bcd PORT MAP (DA => DA, DO => DO);
U2: adc PORT MAP (SDATA => SDATA, NCS => NCS, SCLK => SCLK,
                 CLK => CLK, RST => RST, START_ADC => START_ADC, DA => DA);

-----
-- PROCESO DE BIESTABLES --
-----

process (CLK, EN, RST)
begin
  if (RST = '1') then
    EN <= '0';
    CN_DISP <= (others => '0');
    BCD_CTL <= "110";
    -- CONTROLADOR
    TIMER <= (others => '0');
    ESTADO <= REPOSO;
    ACC <= (others => '0');
    ERROR2 <= (others => '0');
    ERROR1 <= (others => '0');
    ERROR0 <= (others => '0');
    DUTY2 <= (others => '0');
    DUTY1 <= (others => '0');
    DC <= (others => '0');
    DutyC <= (others => '0');
    MUL1 <= (others => '0');
    MUL2 <= (others => '0');
  elsif (CLK'event and CLK = '1') then
    if EN = '1' then
      CN_DISP <= nCN_DISP;
      BCD_CTL <= nBCD_CTL;
      -- CONTROLADOR
      TIMER <= nTIMER;
      ESTADO <= nESTADO;
      ACC <= nACC;
      ERROR2 <= nERROR2;
      ERROR1 <= nERROR1;
      ERROR0 <= nERROR0;
      DUTY2 <= nDUTY2;
      DUTY1 <= nDUTY1;
      DC <= nDC;
      DutyC <= nDutyC;
      MUL1 <= nMUL1;
      MUL2 <= nMUL2;
    end if;
    EN <= NOT EN;
  end if;
end process;

-----
--                               CONTROLADOR                               --
-----

--SEÑAL INICIO ADC inicio
START_ADC <= '1' when (TIMER = N1) else '0';

-- SEÑAL DE ACTIVACIÓN DEL CONTROL
START_GC <= '1' when (TIMER = N2) else '0';

-- CONTROLADOR
process (START_GC, ESTADO, REFERENCE, DA, DC, ERROR0, ERROR1, ERROR2, ACC, DUTY1,
        DUTY2, MUL1, MUL2)
begin
  nESTADO <= ESTADO;
  nACC <= ACC;
  nERROR0 <= ERROR0;
  nERROR1 <= ERROR1;
  nERROR2 <= ERROR2;

```



```

nDUTY1 <= DUTY1;
nDUTY2 <= DUTY2;
nDC <= DC;
nMUL1 <= MUL1;
nMUL2 <= MUL2;
case ESTADO is
when REPOSO =>
  if (START_GC = '1') then
    nERROR0 <= signed(REFERENCE)- signed('0' & DA);
    nESTADO <= E0;
  end if;
when E0 =>
  nMUL1 <= ERROR0 & "00000000000000";
  nMUL2 <= b0;
  nESTADO <= E1;
when E1 =>
  nACC <= Resize(MUL1 * MUL2, 42);
  nMUL1 <= ERROR1 & "00000000000000";
  nMUL2 <= b1;
  nESTADO <= E2;
when E2 =>
  nACC <= Resize(MUL1 * MUL2 + ACC, 42);
  nMUL1 <= ERROR2 & "00000000000000";
  nMUL2 <= b2;
  nESTADO <= E3;
when E3 =>
  nACC <= Resize(MUL1 * MUL2 + ACC, 42);
  nMUL1 <= DUTY1;
  nMUL2 <= -a1;
  nESTADO <= E4;
when E4 =>
  nACC <= Resize(MUL1 * MUL2 + ACC, 42);
  nMUL1 <= DUTY2;
  nMUL2 <= -a2;
  nESTADO <= E5;
when E5 =>
  nACC <= Resize(MUL1 * MUL2 + ACC, 42);
  nESTADO <= E6;
when E6 =>
  --Actualizar valores
  nERROR1 <= ERROR0;
  nERROR2 <= ERROR1;
  nDUTY1 <= ACC(37 downto 16);
  nDUTY2 <= DUTY1;
  --Cuantizador, coge solo la parte entera
  if (ACC(41 downto 24) > 450) then
    nDC <= to_unsigned(450, 9);
  elsif (ACC(41 downto 24) < 50) then
    nDC <= to_unsigned(50, 9);
  else
    nDC <= unsigned(ACC(32 downto 24));
  end if;
  nESTADO <= REPOSO;
end case;

end process;

-- TIMER: Generación de DPWM
nTIMER <= (TIMER+1) when (TIMER < 499) else
  (others => '0');

-- Selección del Duty en función del SW
nDutyC <= DC when (TIMER = 499 and SW_CLOSED = '1') else --Lazo cerrado
  to_unsigned(200,9) when (SW_CLOSED = '0') else --Lazo abierto
  DutyC; --Resto del tiempo, no hacer nada.

-- SEÑALES DE CONTROL DEL CONVERTIDOR:
G1 <= '1' when (DutyC > TIMER) else '0'; -- G1
G2 <= '0'; -- G2 siempre abierto
G3 <= '1' when (SW_HI_LOAD = '1') else '0';

```

7.6 Versión en coma fija con fixed_pkg

```

library IEEE;
use IEEE.STD_LOGIC_1164.ALL;
use IEEE.NUMERIC_STD.ALL;
library ieee_proposed;
use ieee_proposed.fixed_pkg.all;

entity fpga is
  Port (CLK : in STD_LOGIC;
        RST : in STD_LOGIC;
        SDATA : in STD_LOGIC;
        SW_CLOSED : in STD_LOGIC;
        SW_HI_LOAD : in STD_LOGIC;
        NCS : out STD_LOGIC;
        SCLK : out STD_LOGIC;
        SSEG : out STD_LOGIC_VECTOR (6 downto 0);
        DP : out STD_LOGIC;
        ASEL : out STD_LOGIC_VECTOR (3 downto 0);
        G1 : out STD_LOGIC;
        G2 : out STD_LOGIC;
        G3 : out STD_LOGIC
        );
end fpga;

architecture Behavioral of fpga is
  component adc2bcd is
    Port (DA: in STD_LOGIC_VECTOR (7 downto 0);
          DO: out STD_LOGIC_VECTOR (11 downto 0));
  end component;

  component adc is
    Port ( SDATA : in STD_LOGIC;
          NCS : out STD_LOGIC;
          SCLK : out STD_LOGIC;
          CLK : in STD_LOGIC;
          RST : in STD_LOGIC;
          START_ADC : in STD_LOGIC;
          DA : out STD_LOGIC_VECTOR (7 downto 0)
        );
  end component;

  signal DA: STD_LOGIC_VECTOR (7 downto 0);
  signal DO: STD_LOGIC_VECTOR (11 downto 0);

  -- Counter to refresh data and multiplex digits
  signal CN_DISP, nCN_DISP: unsigned (19 downto 0);
  signal START_ADC, BCD_EN: STD_LOGIC;

  -- Multiplexed Display
  signal BCD: unsigned (3 downto 0);
  signal BCD_CTL, nBCD_CTL: STD_LOGIC_VECTOR(2 downto 0);

  -- MAQUINA DE ESTADOS PARA EL CONTROLADOR
  type estados is (REPOSO,E0,E1,E2,E3,E4,E5,E6);
  signal ESTADO, nESTADO: estados;

  -- SEÑALES PARA LA PLANIFICACION DEL CONTROL
  signal START_GC : std_logic; -- Señales de inicio
  signal TIMER, nTIMER : unsigned(8 DOWNTO 0); -- PWM
  constant N2 : unsigned(8 downto 0) := to_unsigned(480,9); -- Para iniciar GC
  constant N1 : unsigned(8 downto 0) := to_unsigned(400,9); -- Para iniciar ADConv

  -- SEÑALES DE E/S DEL CONTROLADOR
  signal REFERENCE: unsigned(8 downto 0):= to_unsigned(194,9); --Consigna
  signal nDC, DC : unsigned(8 DOWNTO 0); -- Duty cuantizado
  signal nDutyC, DutyC: unsigned (8 downto 0); -- Duty command final
  signal nREFERENCE : unsigned (12 downto 0);

  -- SEÑALES PARA EL CONTROLADOR EN COMA FIJA USANDO FIXED_PKG
  signal nACC, ACC: sfixed(17 downto -24); -- 18_24
  signal nERROR0, nERROR1, nERROR2, ERROR0, ERROR1, ERROR2: sfixed(8 downto 0); -- 9_0
  signal nDUTY1, nDUTY2, DUTY1, DUTY2 : sfixed(13 downto -8); -- 14_8
  signal nMUL1, MUL1 : sfixed(13 downto -8);
  signal nMUL2, MUL2 : sfixed(6 downto -16);

```

```

-- CONSTANTES EN COMA FIJA USANDO FIXED PKG
constant b2 : sfixed (6 downto -11) := to_sfixed (3.480 *6.6, 6,-11); --7_11
constant b1 : sfixed (6 downto -11) := to_sfixed (-7.658 *6.6, 6,-11); --7_11
constant b0 : sfixed (6 downto -11) := to_sfixed (4.197 *6.6, 6,-11); --7_11
constant a2 : sfixed (1 downto -16) := to_sfixed (0.5182, 1,-16); --2_16
constant a1 : sfixed (1 downto -16) := to_sfixed (-1.5182, 1,-16); --2_16

-- SEÑAL DE ACTIVACION DE LOS BIESTABLES
signal EN : STD_LOGIC;
begin
U1: adc2bcd PORT MAP (DA => DA, DO => DO);
U2: adc PORT MAP (SDATA => SDATA, NCS => NCS, SCLK => SCLK,
                 CLK => CLK, RST => RST, START_ADC => START_ADC, DA => DA);

-----
-- PROCESO DE BIESTABLES --
-----
process (CLK, EN, RST)
begin
  if (RST = '1') then
    EN <= '0';
    CN_DISP <= (others => '0');
    BCD_CTL <= "110";
    -- CONTROLADOR
    TIMER <= (others => '0');
    ESTADO <= REPOSO;
    ACC <= (others => '0');
    ERROR2<=(others => '0');
    ERROR1<= (others => '0');
    ERROR0<= (others => '0');
    DUTY2<= (others => '0');
    DUTY1<= (others => '0');
    DC <=(others => '0');
    DutyC <=(others => '0');
    MUL1 <=(others => '0');
    MUL2 <=(others => '0');
  elsif (CLK'event and CLK = '1') then
    if EN = '1' then
      CN_DISP <= nCN_DISP;
      BCD_CTL <= nBCD_CTL;
      -- CONTROLADOR
      TIMER <= nTIMER;
      ESTADO <= nESTADO;
      ACC <= nACC;
      ERROR2<=nERROR2;
      ERROR1 <= nERROR1;
      ERROR0 <= nERROR0;
      DUTY2 <= nDUTY2;
      DUTY1 <= nDUTY1;
      DC <= nDC;
      DutyC <= nDutyC;
      MUL1 <= nMUL1;
      MUL2 <= nMUL2;
    end if;
    EN <= NOT EN;
  end if;
end process;

-----
--                                CONTROLADOR                                --
-----

--SEÑAL INICIO ADC inicio
START_ADC <= '1' when (TIMER = N1) else '0';
-- SEÑAL DE ACTIVACIÓN DEL CONTROL
START_GC <= '1' when (TIMER = N2) else '0';

-- CONTROLADOR
process (START_GC, DC, ESTADO, REFERENCE, DA, ERROR0, ERROR1, ERROR2, ACC, DUTY1,
        DUTY2, MUL1, MUL2)
begin
  nESTADO <= ESTADO;
  nACC <= ACC;
  nERROR0 <= ERROR0;
  nERROR1 <= ERROR1;

```

```

nERROR2 <= ERROR2;
nDUTY1 <= DUTY1;
nDUTY2 <= DUTY2;
nDC <= DC;
nMUL1 <= MUL1;
nMUL2 <= MUL2;
case ESTADO is
when REPOSO =>
  if (START_GC = '1') then
    nERROR0 <= to_sfixed(signed(REFERENCE) - signed('0'&DA), 8, 0); -- 9_0
    nESTADO <= E0;
  end if;
when E0 =>
  nMUL1 <= Resize(ERROR0, 13, -8);
  nMUL2 <= Resize(b0, 6, -16);
  nESTADO <= E1;
when E1 =>
  nACC <= Resize(MUL1 * MUL2, 17, -24);
  nMUL1 <= Resize(ERROR1, 13, -8);
  nMUL2 <= Resize(b1, 6, -16);
  nESTADO <= E2;
when E2 =>
  nACC <= Resize(MUL1 * MUL2 + ACC, 17, -24);
  nMUL1 <= Resize(ERROR2, 13, -8);
  nMUL2 <= Resize(b2, 6, -16);
  nESTADO <= E3;
when E3 =>
  nACC <= Resize(MUL1 * MUL2 + ACC, 17, -24);
  nMUL1 <= Resize(DUTY1, 13, -8);
  nMUL2 <= Resize(-a1, 6, -16);
  nESTADO <= E4;
when E4 =>
  nACC <= Resize(MUL1 * MUL2 + ACC, 17, -24);
  nMUL1 <= Resize(DUTY2, 13, -8);
  nMUL2 <= Resize(-a2, 6, -16);
  nESTADO <= E5;
when E5 =>
  nACC <= Resize(MUL1 * MUL2 + ACC, 17, -24);
  nESTADO <= E6;
when E6 =>
  --Actualizar valores
  nERROR1 <= ERROR0;
  nERROR2 <= ERROR1;
  nDUTY1 <= ACC(13 downto -8); -- 14_8 <= 18_24
  nDUTY2 <= DUTY1;
  --Cuantizador, coge solo la parte entera
  if (ACC(17 downto 0) > 450) then -- 18_0 <= 18_24
    nDC <= to_unsigned(450,9);
  elsif (ACC(17 downto 0) < 50) then -- 18_0 <= 18_24
    nDC <= to_unsigned(50,9);
  else
    nDC <= unsigned(ACC(8 downto 0)); -- 9_0 <= 18_24
  end if;
  nESTADO <= REPOSO;
end case;
end process;

-- TIMER: Generación de DPWM
nTIMER <= (TIMER+1) when (TIMER < 499) else
  (others => '0');

-- Selección del Duty en función del SW
nDutyC <= DC when (TIMER = 499 and SW_CLOSED = '1') else --Lazo cerrado
  to_unsigned(200,9) when (SW_CLOSED = '0') else --Lazo abierto
  DutyC; --Resto del tiempo, no hacer nada.

-- SEÑALES DE CONTROL DEL CONVERTIDOR:
G1 <= '1' when (DutyC > TIMER) else '0'; -- G1
G2 <= '0'; -- G2 siempre abierto
G3 <= '1' when (SW_HI_LOAD = '1') else '0';

```

7.7 Versión en coma flotante con float_pkg, segmentada

```

library IEEE;
use IEEE.STD_LOGIC_1164.ALL;
use IEEE.NUMERIC_STD.ALL;
use IEEE.fixed_float_types.all;
use IEEE.fixed_pkg.all ;
use IEEE.float_pkg.all ;

entity fpga is
  Port (CLK          : in  STD_LOGIC;
        RST          : in  STD_LOGIC;
        SDATA        : in  STD_LOGIC;
        SW_CLOSED    : in  STD_LOGIC;
        SW_HI_LOAD   : in  STD_LOGIC;
        NCS           : out STD_LOGIC;
        SCLK          : out STD_LOGIC;
        SSEG         : out STD_LOGIC_VECTOR (6 downto 0);
        DP           : out STD_LOGIC;
        ASEL         : out STD_LOGIC_VECTOR (3 downto 0);
        G1            : out STD_LOGIC;
        G2            : out STD_LOGIC;
        G3            : out STD_LOGIC
        );
end fpga;

architecture Behavioral of fpga is
  component adc2bcd is
    Port (DA: in  STD_LOGIC_VECTOR (7 downto 0);
          DO: out STD_LOGIC_VECTOR (11 downto 0));
  end component;

  component adc is
    Port ( SDATA : in  STD_LOGIC;
          NCS    : out STD_LOGIC;
          SCLK   : out STD_LOGIC;
          CLK    : in  STD_LOGIC;
          RST    : in  STD_LOGIC;
          START_ADC : in  STD_LOGIC;
          DA     : out STD_LOGIC_VECTOR (7 downto 0)
        );
  end component;

  signal DA: STD_LOGIC_VECTOR (7 downto 0);
  signal DO: STD_LOGIC_VECTOR (11 downto 0);

  -- Counter to refresh data and multiplex digits
  signal CN_DISP, nCN_DISP: unsigned (19 downto 0);
  signal START_ADC, BCD_EN: STD_LOGIC;

  -- Multiplexed Display
  signal BCD: unsigned (3 downto 0);
  signal BCD_CTL, nBCD_CTL: STD_LOGIC_VECTOR (2 downto 0);

  -- MAQUINA DE ESTADOS PARA EL CONTROLADOR
  type estados is (REPOSO,E0,E1,E2,E3,E4,E5,E6,E7,E8);
  signal ESTADO, nESTADO: estados;

  -- SEÑALES PARA LA PLANIFICACION DEL CONTROL
  signal START_GC : std_logic; -- Señales de inicio
  signal TIMER, nTIMER : unsigned(8 downto 0); -- PWM
  constant N2 : unsigned(8 downto 0) := to_unsigned(480,9); -- Para iniciar GC
  constant N1 : unsigned(8 downto 0) := to_unsigned(400,9); -- Para iniciar ADConv

  -- SEÑALES DE E/S DEL CONTROLADOR
  signal REFERENCE: unsigned(8 downto 0):= to_unsigned(194,9); --Consigna
  signal nDC, DC : unsigned(8 downto 0); -- Duty cuantizado
  signal nDutyC, DutyC: unsigned (8 downto 0); -- Duty command final

  -- SEÑALES PARA EL CONTROLADOR EN COMA FLOTANTE USANDO FLOAT_PKG
  signal nACC, ACC: float32;
  signal nERROR0, nERROR1, nERROR2, ERROR0, ERROR1, ERROR2 : float32;
  signal nDUTY1, nDUTY2, DUTY1, DUTY2 : float32;
  signal nMUL1, MUL1 : float32;
  signal nMUL2, MUL2 : float32;

```

```

signal nPRODUCTO, PRODUCTO : float32;

-- CONSTANTES EN COMA FLOTANTE USANDO FLOAT PKG
constant b2 : float32 := to_float (3.480 *6.6);
constant b1 : float32 := to_float (-7.658 *6.6);
constant b0 : float32 := to_float (4.197 *6.6);
constant a2 : float32 := to_float (0.5182);
constant a1 : float32 := to_float (-1.5182);

signal DIVIDER, pDIVIDER : unsigned (1 downto 0);

begin
U1: adc2bcd PORT MAP (DA => DA, DO => DO);
U2: adc PORT MAP (SDATA => SDATA, NCS => NCS, SCLK => SCLK,
    CLK => CLK, RST => RST, START_ADC => START_ADC, DA => DA);

-- Contador de dos bits para dividir frecuencia CLK
DIVIDER <= pDIVIDER + 1;
-----
-- PROCESO DE BIESTABLES --
-----
process (CLK, RST)
begin
    if (RST = '1') then
        pDIVIDER <= (others => '0');
        CN_DISP <= (others => '0');
        BCD_CTL <= "110";
        -- CONTROLADOR
        TIMER <= (others => '0');
        ESTADO <= REPOSO;
        ACC <= (others => '0');
        ERROR2<=(others => '0');
        ERROR1<= (others => '0');
        ERROR0<= (others => '0');
        DUTY2<= (others => '0');
        DUTY1<= (others => '0');
        DC <=(others => '0');
        DutyC <=(others => '0');
        MUL1 <= (others => '0');
        MUL2 <= (others => '0');
        PRODUCTO <= (others => '0');

    elsif (CLK'event and CLK = '1') then
        pDIVIDER <= DIVIDER;
        if pDIVIDER = 0 OR pDIVIDER = 1 then
            CN_DISP <= nCN_DISP;
            BCD_CTL <= nBCD_CTL;
            TIMER <= nTIMER;
            DutyC <= nDutyC;
        end if;
        if pDIVIDER = 0 then
            -- BIESTABLES PARA OPERACIONES
            ESTADO <= nESTADO;
            ACC <= nACC;
            ERROR2<=nERROR2;
            ERROR1 <= nERROR1;
            ERROR0 <= nERROR0;
            DUTY2 <= nDUTY2;
            DUTY1 <= nDUTY1;
            DC <= nDC;
            MUL1 <= nMUL1;
            MUL2 <= nMUL2;
            PRODUCTO <= nPRODUCTO;
        end if;
    end if;
end process;

```

```

-----
--                                CONTROLADOR                                --
-----

--SEÑAL INICIO ADC inicio
START_ADC <= '1' when(TIMER = N1) else '0';

-- SEÑAL DE ACTIVACIÓN DEL CONTROL
START_GC <= '1' when (TIMER = N2) else '0';

-- CONTROLADOR
process (START_GC, ESTADO, REFERENCE, DA, ERROR0, ERROR1, ERROR2, ACC, DUTY1, DUTY2,
MUL1, MUL2, DC, PRODUCTO)
begin
    nESTADO <= ESTADO;
    nACC <= ACC;
    nERROR0 <= ERROR0;
    nERROR1 <= ERROR1;
    nERROR2 <= ERROR2;
    nDUTY1 <= DUTY1;
    nDUTY2 <= DUTY2;
    nMUL1 <= MUL1;
    nMUL2 <= MUL2;
    nDC <= DC;
    nPRODUCTO <= PRODUCTO;
    case ESTADO is
        when REPOSO =>
            if (START_GC = '1') then
                nERROR0 <= to_float(signed(REFERENCE) - (signed('0' & DA)));
                nESTADO <= E0;
            end if;
        when E0 =>
            nMUL1 <= ERROR0;
            nMUL2 <= b0;
            nESTADO <= E1;
        when E1 =>
            nACC <= MUL1 * MUL2;
            nMUL1 <= ERROR1;
            nMUL2 <= b1;
            nESTADO <= E2;
        when E2 =>
            nPRODUCTO <= MUL1 * MUL2;
            nMUL1 <= ERROR2;
            nMUL2 <= b2;
            nESTADO <= E3;
        when E3 =>
            nACC <= PRODUCTO + ACC;
            nPRODUCTO <= MUL1 * MUL2;
            nMUL1 <= DUTY1;
            nMUL2 <= -a1;
            nESTADO <= E4;
        when E4 =>
            nACC <= PRODUCTO + ACC;
            nPRODUCTO <= MUL1 * MUL2;
            nMUL1 <= DUTY2;
            nMUL2 <= -a2;
            nESTADO <= E5;
        when E5 =>
            nACC <= PRODUCTO + ACC;
            nPRODUCTO <= MUL1 * MUL2;
            nESTADO <= E6;
        when E6 =>
            nACC <= PRODUCTO + ACC;
            nESTADO <= E7;
        when E7 =>
            --Actualizar valores
            nERROR1 <= ERROR0;
            nERROR2 <= ERROR1;
            nDUTY1 <= ACC;
            nDUTY2 <= DUTY1;
            nESTADO <= E8;
        when E8 =>
            if (ACC > to_float(450.0)) then
                nDC <= to_unsigned(450,9);
            elsif (ACC < to_float(50.0)) then

```

```
        nDC <= to_unsigned(50,9);
    else
        nDC <= to_unsigned (ACC,9);
    end if;
    nESTADO <= REPOSO;
end case;
end process;

-- TIMER: Generación de DPWM
nTIMER <= (TIMER+1) when (TIMER < 499) else
    (others => '0');

-- Selección del Duty en función del SW
nDutyC <= nDC when (TIMER = 499 and SW CLOSED = '1') else --Lazo cerrado
    to_unsigned(200,9) when (SW_CLOSED = '0') else --Lazo abierto
    DutyC; --Resto del tiempo, no hacer nada.

-- SEÑALES DE CONTROL DEL CONVERTIDOR:
G1 <= '1' when (DutyC > TIMER) else '0'; -- G1    DutyC
G2 <= '0'; -- G2 siempre abierto
G3 <= '1' when (SW_HI_LOAD = '1') else '0';
```


7.8 Versión en coma flotante con float_pkg, sencilla

```

library IEEE;
use IEEE.STD_LOGIC_1164.ALL;
use IEEE.NUMERIC_STD.ALL;
use IEEE.fixed_float_types.all;
use IEEE.fixed_pkg.all ;
use IEEE.float_pkg.all ;

entity fpga is
  Port (CLK: in  STD_LOGIC;
        RST: in  STD_LOGIC;
        SDATA: in  STD_LOGIC;
        SW_CLOSED: in  STD_LOGIC;
        SW_HI_LOAD: in  STD_LOGIC;
        NCS: out  STD_LOGIC;
        SCLK: out  STD_LOGIC;
        SSEG: out  STD_LOGIC_VECTOR (6 downto 0);
        DP: out  STD_LOGIC;
        ASEL: out  STD_LOGIC_VECTOR (3 downto 0);
        G1: out  STD_LOGIC;
        G2: out  STD_LOGIC;
        G3: out  STD_LOGIC
        );
end fpga;

architecture Behavioral of fpga is
  component adc2bcd is
    Port (DA: in  STD_LOGIC_VECTOR (7 downto 0);
          DO: out  STD_LOGIC_VECTOR (11 downto 0));
  end component;

  component adc is
    Port (SDATA : in  STD_LOGIC;
          NCS : out  STD_LOGIC;
          SCLK : out  STD_LOGIC;
          CLK : in  STD_LOGIC;
          RST : in  STD_LOGIC;
          START_ADC : in  STD_LOGIC;
          DA : out  STD_LOGIC_VECTOR (7 downto 0)
          );
  end component;

  signal DA: STD_LOGIC_VECTOR (7 downto 0);
  signal DO: STD_LOGIC_VECTOR (11 downto 0);

  -- Counter to refresh data and multiplex digits
  signal CN_DISP, nCN_DISP: unsigned (19 downto 0);
  signal START_ADC, BCD_EN: STD_LOGIC;

  -- Multiplexed Display
  signal BCD: unsigned (3 downto 0);
  signal BCD_CTL, nBCD_CTL: STD_LOGIC_VECTOR (2 downto 0);

  -- MAQUINA DE ESTADOS PARA EL CONTROLADOR
  type estados is (REPOSO,E0,E1,E2);
  signal ESTADO, nESTADO: estados;

  -- SEÑALES PARA LA PLANIFICACION DEL CONTROL
  signal START_GC : std_logic; -- Señales de inicio
  signal TIMER, nTIMER : unsigned(8 downto 0); -- PWM
  constant N3 : unsigned(8 downto 0) := to_unsigned(490,9); -- Fin lógica combinacional
  constant N2 : unsigned(8 downto 0) := to_unsigned(480,9); -- Para iniciar GC
  constant N1 : unsigned(8 downto 0) := to_unsigned(400,9); -- Para iniciar ADConv

  -- SEÑALES DE E/S DEL CONTROLADOR
  signal REFERENCE: unsigned(8 downto 0) := to_unsigned(194,9); --Consigna
  signal nDC, DC : unsigned(8 downto 0); -- Duty cuantizado
  signal nDutyC, DutyC: unsigned (8 downto 0); -- Duty command final

  -- SEÑALES PARA EL CONTROLADOR EN COMA FLOTANTE USANDO FLOAT PKG
  signal n_error, n_error0, n_error1, n_error2, error, error0, error1, error2: float32;
  signal n_duty0, duty0, n_duty1, n_duty2, duty1, duty2 : float32;

```

```

-- CONSTANTES EN COMA FLOTANTE USANDO FLOAT PKG
constant b2 : float32 := to_float (3.480 *6.6);
constant b1 : float32 := to_float (-7.658 *6.6);
constant b0 : float32 := to_float (4.197 *6.6);
constant a2 : float32 := to_float (0.5182);
constant a1 : float32 := to_float (-1.5182);
-- SEÑAL DE ACTIVACION DE LOS BIESTABLES
signal EN : std_logic;

begin
U1: adc2bcd PORT MAP (DA => DA, DO => DO);
U2: adc PORT MAP (SDATA => SDATA, NCS => NCS, SCLK => SCLK,
CLK => CLK, RST => RST, START_ADC => START_ADC, DA => DA);

-----
-- PROCESO DE BIESTABLES --
-----
process (CLK, EN, RST)
begin
if (RST = '1') then
EN <= '0';
CN_DISP <= (others => '0');
BCD_CTL <= "110";
-- CONTROLADOR
TIMER <= (others => '0');
ESTADO <= REPOSO;
duty0 <= (others => '0');
duty1 <= (others => '0');
duty2 <= (others => '0');
error1 <= (others => '0');
error2 <= (others => '0');
error0 <= (others => '0');
error <= (others => '0');
DC <=(others => '0');
DutyC <=(others => '0');

elsif (CLK'event and CLK = '1') then
if EN = '1' then
CN_DISP <= nCN_DISP;
BCD_CTL <= nBCD_CTL;
TIMER <= nTIMER;
DutyC <= nDutyC;
-- CONTROLADOR
ESTADO <= nESTADO;
duty0 <= n_duty0;
duty1 <= n_duty1;
duty2 <= n_duty2;
error1 <= n_error1;
error2 <= n_error2;
error0 <= n_error0;
error <= n_error;
DC <= nDC;
end if;
EN <= NOT EN;
end if;
end process;

-----
-- CONTROLADOR --
-----

--SEÑAL INICIO ADC inicio
START_ADC <= '1' when (TIMER = N1) else '0';

-- SEÑAL DE ACTIVACIÓN DEL CONTROL
START_GC <= '1' when (TIMER = N2) else '0';

-- CONTROLADOR
process (START_GC, ESTADO, REFERENCE, DA, error, error0, error1, error2, duty0,
duty1, duty2, TIMER)
begin
nESTADO <= ESTADO;
n_duty0 <= duty0;
n_duty1 <= duty1;

```

```

n_duty2 <= duty2;
n_error1 <= error1;
n_error2 <= error2;
n_error0 <= error0;
n_error <= error;
nDC <= DC;

case ESTADO is
when REPOSO =>
  if (START_GC = '1') then
    n_error <= to_float(signed(REFERENCE) - (signed('0'&DA)));
    nESTADO <= E0;
  end if;
when E0 =>
  --Actualizar valores
  n_error0 <= error;
  n_error1 <= error0;
  n_error2 <= error1;
  n_duty1 <= duty0;
  n_duty2 <= duty1;
  nESTADO <= E1;
when E1 =>
  n_duty0 <= error0*b0 + error1*b1 + error2*b2 - duty1*a1 - duty2*a2;
  if (TIMER = 450) then
    nESTADO <= E2;
  end if;
when E2 =>
  if (duty0 > to_float(450.0)) then
    nDC <= to_unsigned(450,9);
  elsif (duty0 < to_float(50.0)) then
    nDC <= to_unsigned(50,9);
  else
    nDC <= to_unsigned (duty0,9);
  end if;
  nESTADO <= REPOSO;
end case;
end process;

-- TIMER: Generación de DPWM
nTIMER <= (TIMER+1) when (TIMER < 499) else
  (others => '0');

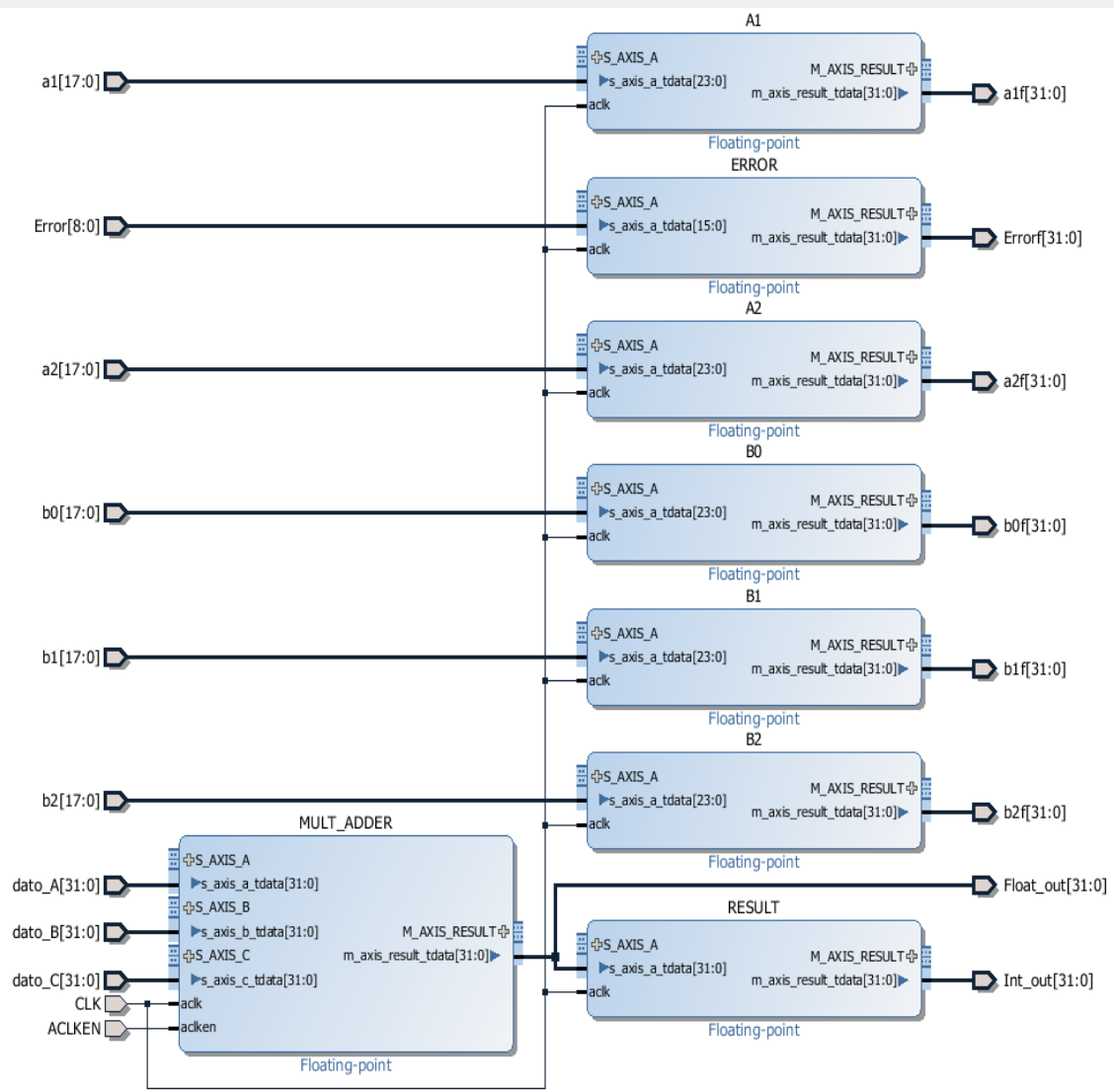
-- Selección del Duty en función del SW
nDutyC <= nDC when (TIMER = 499 and SW_CLOSED = '1') else --Lazo cerrado
  to_unsigned(200,9) when (SW_CLOSED = '0') else --Lazo abierto
  DutyC; --Resto del tiempo, no hacer nada.

-- SEÑALES DE CONTROL DEL CONVERTIDOR:
G1 <= '1' when (DutyC > TIMER) else '0'; -- G1    DutyC
G2 <= '0'; -- G2 siempre abierto
G3 <= '1' when (SW_HI_LOAD = '1') else '0';

```

7.9 Versión con bloques IP de coma flotante

7.9.1 Diagrama de bloques



7.9.2 VHDL

```

library IEEE;
use IEEE.STD_LOGIC_1164.ALL;
use IEEE.NUMERIC_STD.ALL;
library ieee_proposed;

entity fpga is
  Port (CLK: in  STD_LOGIC;
        RST: in  STD_LOGIC;
        SDATA: in  STD_LOGIC;
        SW_CLOSED: in  STD_LOGIC;
        SW_HI_LOAD: in  STD_LOGIC;
        NCS: out  STD_LOGIC;
        SCLK: out  STD_LOGIC;
        SSEG: out  STD_LOGIC_VECTOR (6 downto 0);
        DP: out  STD_LOGIC;
        ASEL: out  STD_LOGIC_VECTOR (3 downto 0);
        G1: out  STD_LOGIC;
        G2: out  STD_LOGIC;
        G3: out  STD_LOGIC
  );
end fpga;

```

```

architecture Behavioral of fpga is
  component controller_wrapper is
    port (ACLKEN : in STD_LOGIC;
          CLK : in STD_LOGIC;
          Error : in STD_LOGIC_VECTOR ( 8 downto 0 );
          Errorf : out STD_LOGIC_VECTOR ( 31 downto 0 );
          Float_out : out STD_LOGIC_VECTOR ( 31 downto 0 );
          Int_out : out STD_LOGIC_VECTOR ( 31 downto 0 );
          a1 : in STD_LOGIC_VECTOR ( 17 downto 0 );
          a1f : out STD_LOGIC_VECTOR ( 31 downto 0 );
          a2 : in STD_LOGIC_VECTOR ( 17 downto 0 );
          a2f : out STD_LOGIC_VECTOR ( 31 downto 0 );
          b0 : in STD_LOGIC_VECTOR ( 17 downto 0 );
          b0f : out STD_LOGIC_VECTOR ( 31 downto 0 );
          b1 : in STD_LOGIC_VECTOR ( 17 downto 0 );
          b1f : out STD_LOGIC_VECTOR ( 31 downto 0 );
          b2 : in STD_LOGIC_VECTOR ( 17 downto 0 );
          b2f : out STD_LOGIC_VECTOR ( 31 downto 0 );
          dato_A : in STD_LOGIC_VECTOR ( 31 downto 0 );
          dato_B : in STD_LOGIC_VECTOR ( 31 downto 0 );
          dato_C : in STD_LOGIC_VECTOR ( 31 downto 0 ));
  end component controller_wrapper;

  component adc2bcd is
    Port (DA: in STD_LOGIC_VECTOR (7 downto 0);
          DO: out STD_LOGIC_VECTOR (11 downto 0));
  end component;

  component adc is
    Port( SDATA : in STD_LOGIC;
          NCS : out STD_LOGIC;
          SCLK : out STD_LOGIC;
          CLK : in STD_LOGIC;
          RST : in STD_LOGIC;
          START_ADC : in STD_LOGIC;
          DA : out STD_LOGIC_VECTOR (7 downto 0)
        );
  end component;

  signal DA: STD_LOGIC_VECTOR (7 downto 0);
  signal DO: STD_LOGIC_VECTOR (11 downto 0);

  -- Counter to refresh data and multiplex digits
  signal CN_DISP, nCN_DISP: unsigned (19 downto 0);
  signal START_ADC, BCD_EN: STD_LOGIC;

  -- Multiplexed Display
  signal BCD: unsigned (3 downto 0);
  signal BCD_CTL, nBCD_CTL: STD_LOGIC_VECTOR(2 downto 0);

  -- SEÑALES PARA LA PLANIFICACION DEL CONTROL
  signal START_GC : std_logic; -- Señales de inicio
  signal TIMER, nTIMER : unsigned(8 DOWNTO 0); -- PWM
  constant N2 : unsigned(8 downto 0) := to_unsigned(480,9); -- Para iniciar GC
  constant N1 : unsigned(8 downto 0) := to_unsigned(400,9); -- Para iniciar ADConv

  -- MAQUINA DE ESTADOS PARA EL CONTROLADOR
  type estados is (REPOSO,E0,E1,E2,E3,E4,E5,E6,E7,E8,E9,E10);
  signal ESTADO, nESTADO: estados;

  -- SEÑALES DEL CONTROLADOR
  signal REFERENCE: unsigned(8 downto 0) := to_unsigned(194,9); --Consigna
  signal nDC, DC : unsigned(8 downto 0); -- Duty cuantizado
  signal nDutyC, DutyC: unsigned (8 downto 0); -- Duty command final

  -- SEÑALES PARA EL CONTROLADOR
  signal ERROR0, ERROR1, ERROR2, DUTY1, DUTY2: std_logic_vector(31 downto 0);
  signal nERROR0, nERROR1, nERROR2, nDUTY1, nDUTY2: std_logic_vector(31 downto 0);
  signal Errorf, Int_out: std_logic_vector(31 downto 0);
  signal nError, Error: STD_LOGIC_VECTOR (8 downto 0);
  signal b0f, b1f, b2f, a1f, a2f: STD_LOGIC_VECTOR (31 downto 0);
  signal ndato_A, dato_A: STD_LOGIC_VECTOR (31 downto 0);
  signal ndato_B, dato_B: STD_LOGIC_VECTOR (31 downto 0);
  signal ndato_C, dato_C: STD_LOGIC_VECTOR (31 downto 0);

```

```

signal Float_out: STD_LOGIC_VECTOR (31 downto 0);
signal ACLKEN: STD_LOGIC;

-- CONSTANTES EN COMA FIJA USANDO FIXED_PKG
signal b2: STD_LOGIC_VECTOR (17 downto 0):= STD_LOGIC_VECTOR(to_sfixed (3.480*6.6,
6,-11)); --7_11
signal b1: STD_LOGIC_VECTOR (17 downto 0):= STD_LOGIC_VECTOR(to_sfixed (-7.658*6.6,
6,-11)); --7_11
signal b0: STD_LOGIC_VECTOR (17 downto 0):= STD_LOGIC_VECTOR(to_sfixed (4.197*6.6,
6,-11)); --7_11
signal a2: STD_LOGIC_VECTOR (17 downto 0):= STD_LOGIC_VECTOR(to_sfixed (-0.5182,
1,-16)); --2_16
signal a1: STD_LOGIC_VECTOR (17 downto 0):= STD_LOGIC_VECTOR(to_sfixed (1.5182,
1,-16)); --2_16

-- SEÑAL DE ACTIVACION DE LOS BIESTABLES
signal EN: STD_LOGIC;

begin
U1: adc2bcd PORT MAP (DA => DA, DO => DO);
U2: adc PORT MAP (SDATA => SDATA, NCS => NCS, SCLK => SCLK,
CLK => CLK, RST => RST, START_ADC => START_ADC, DA => DA);
U3: controller_wrapper port map (CLK => EN, ACLKEN => ACLKEN,
dato_A(31 downto 0) => dato_A(31 downto 0),
dato_B(31 downto 0) => dato_B(31 downto 0),
dato_C(31 downto 0) => dato_C(31 downto 0),
Float_out(31 downto 0) => Float_out(31 downto 0),
b2(17 downto 0) => b2 (17 downto 0),
b1(17 downto 0) => b1 (17 downto 0),
b0(17 downto 0) => b0 (17 downto 0),
a2(17 downto 0) => a2 (17 downto 0),
a1(17 downto 0) => a1 (17 downto 0),
b2f(31 downto 0) => b2f (31 downto 0),
b1f(31 downto 0) => b1f (31 downto 0),
b0f(31 downto 0) => b0f (31 downto 0),
a2f(31 downto 0) => a2f (31 downto 0),
a1f(31 downto 0) => a1f (31 downto 0),
Error(8 downto 0) => Error (8 downto 0),
Errorf(31 downto 0) => Errorf (31 downto 0),
Int_out(31 downto 0) => Int_out (31 downto 0)
);

-----
-- PROCESO DE BIESTABLES --
-----

process (CLK, EN, RST)
begin
if (RST = '1') then
EN <= '0';
CN_DISP <= (others => '0');
BCD_CTL <= "110";
-- CONTROLADOR
TIMER <= (others => '0');
ESTADO <= REPOSO;
ERROR2<=(others => '0');
ERROR1<= (others => '0');
ERROR0<= (others => '0');
DUTY2<= (others => '0');
DUTY1<= (others => '0');
DC <= (others => '0');
DutyC <= (others => '0');
Error <= (others => '0');
dato_A <= (others => '0');
dato_B <= (others => '0');
dato_C <= (others => '0');
elsif (CLK'event and CLK = '1') then
if EN = '1' then
CN_DISP <= nCN_DISP;
BCD_CTL <= nBCD_CTL;
-- CONTROLADOR
TIMER <= nTIMER;
ESTADO <= nESTADO;
ERROR2<=nERROR2;
ERROR1 <= nERROR1;
ERROR0 <= nERROR0;
DUTY2 <= nDUTY2;

```

```

DUTY1 <= nDUTY1;
DC <= nDC;
DutyC <= nDutyC;
Error <= nError;
dato_A <= ndato_A;
dato_B <= ndato_B;
dato_C <= ndato_C;
end if;
EN <= NOT EN;
end if;
end process;

-----
--                                CONTROLADOR                                --
-----

--SEÑAL INICIO ADC inicio
--START ADC <= '1' when (TIMER = N1) else '0';
START_ADC <= '1' when (TIMER = N1) else '0';
-- SEÑAL DE ACTIVACIÓN DEL CONTROL
START_GC <= '1' when (TIMER = N2) else '0';

-- Logica combinatorial para el control del bloque IP float
ndato_C <= (others => '0') when (ESTADO = E0) else Float_out;
ACLKEN <= '1' when (ESTADO = E0 or ESTADO = E1 or ESTADO = E2 or ESTADO = E3 or
ESTADO = E4 or ESTADO = E5 or ESTADO = E6 or ESTADO = E7) else '0';

-- CONTROLADOR
process (START_GC, ESTADO, REFERENCE, DA, Errorf, ERROR0, ERROR1, ERROR2, DUTY1,
Error, dato_A, dato_B, DUTY2, DC, Float_out, Int_out, dato_A, dato_B,
b0f, b1f, b2f, a1f, a2f)
begin
nESTADO <= ESTADO;
nERROR0 <= ERROR0;
nERROR1 <= ERROR1;
nERROR2 <= ERROR2;
nDUTY1 <= DUTY1;
nDUTY2 <= DUTY2;
nError <= Error;
ndato_A <= dato_A;
ndato_B <= dato_B;
nDC <= DC;
case ESTADO is
when REPOSO =>
if (START_GC = '1') then
nESTADO <= E0;
end if;
when E0 => --ESTADO NECESARIO PARA RESETEAR EL BLOQUE IP
nError <= std_logic_vector(to_sfixed((signed(REFERENCE) -
signed('0'&DA)),8,0));
ndato_A <= (others => '0');
ndato_B <= (others => '0');
nESTADO <= E1;
when E1 =>
nERROR0 <= Errorf;
ndato_A <= (others => '0');
ndato_B <= (others => '0');
nESTADO <= E2;
when E2 =>
ndato_A <= ERROR0;
ndato_B <= b0f;
nESTADO <= E3;
when E3 =>
ndato_A <= ERROR1;
ndato_B <= b1f;
nESTADO <= E4;
when E4 =>
ndato_A <= ERROR2;
ndato_B <= b2f;
nESTADO <= E5;
when E5 =>
ndato_A <= DUTY1;
ndato_B <= a1f;
nESTADO <= E6;
when E6 =>

```

```

    ndato_A <= DUTY2;
    ndato_B <= a2f;
    nESTADO <= E7;
when E7 => --ESTADO NECESARIO PARA QUE EL BLOQUE IP ACTUALICE SU SALIDA
    nESTADO <= E8;
when E8 =>
    --Actualizar valores
    nERROR1 <= ERROR0;
    nERROR2 <= ERROR1;
    nDUTY1 <= Float_out;
    nDUTY2 <= DUTY1;
    nESTADO <= E9;
when E9 =>
    nESTADO <= E10;
when E10 =>
    --Cuantizador, coge solo la parte entera
    if (signed(Int_out) > 450) then
        nDC <= to_unsigned(450,9);
    elsif (signed(Int_out) < 50) then
        nDC <= to_unsigned(50,9);
    else
        nDC <= unsigned(Int_out(8 downto 0));
    end if;
    nESTADO <= REPOSO;
end case;

end process;

-- TIMER: Generación de DPWM
nTIMER <= (TIMER+1) when (TIMER < 499) else
    (others => '0');

-- Selección del Duty en función del SW
nDutyC <= DC when (TIMER = 499 and SW_CLOSED = '1') else --Lazo cerrado
    to_unsigned(200, 9) when (SW_CLOSED = '0') else --Lazo abierto
    DutyC; --Resto del tiempo, no hacer nada.

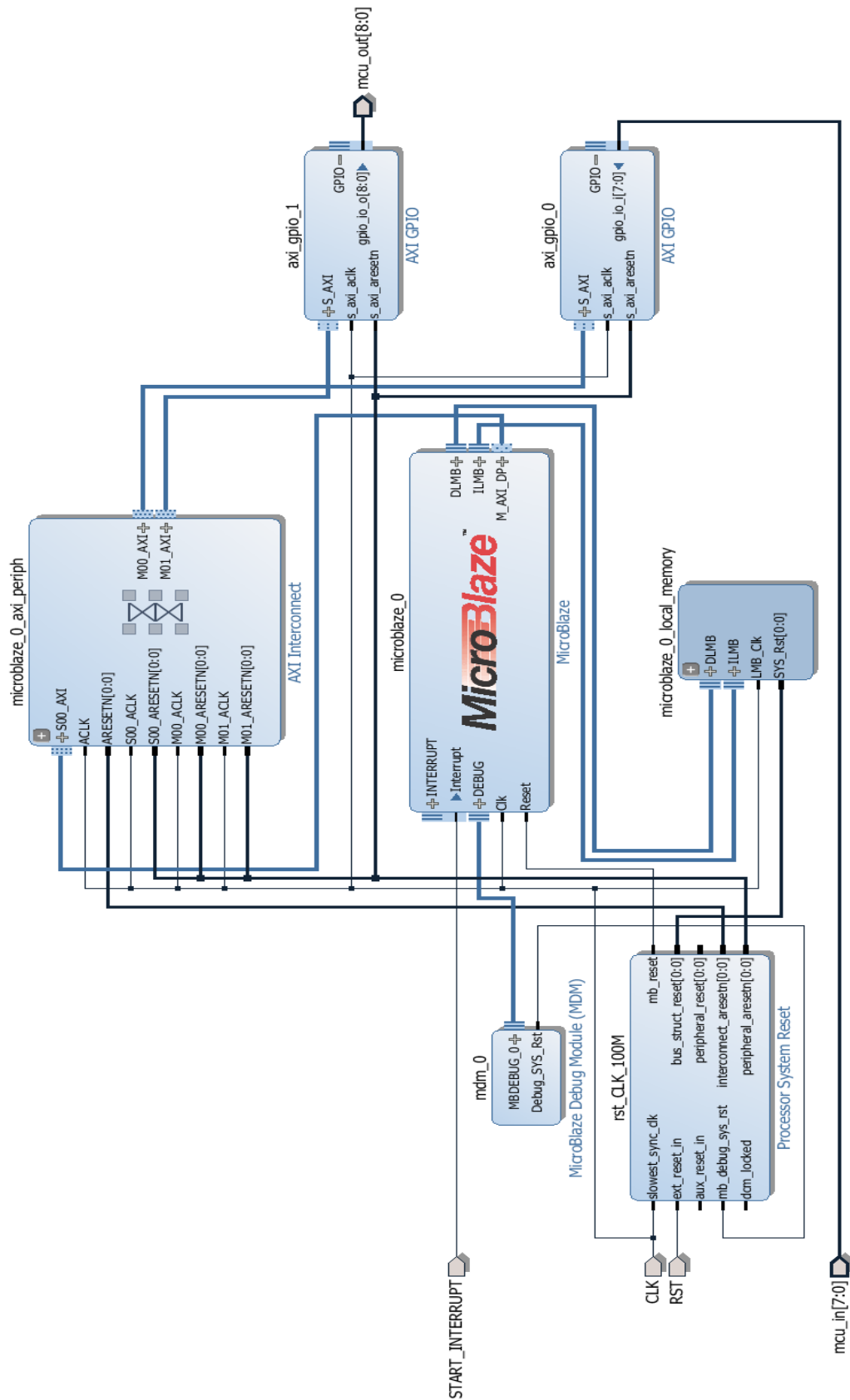
-- SEÑALES DE CONTROL DEL CONVERTIDOR:

G1 <= '1' when (DutyC > TIMER) else '0'; -- G1
G2 <= '0'; -- G2 siempre abierto
G3 <= '1' when (SW_HI_LOAD = '1') else '0';

```


7.10 Versión con MicroBlaze

7.10.1 Diagrama de bloques



7.10.2 VHDL

```

library IEEE;
use IEEE.STD_LOGIC_1164.ALL;
use IEEE.NUMERIC_STD.ALL;

entity fpga is
  Port (CLK: in STD_LOGIC;
        RST: in STD_LOGIC;
        SDATA: in STD_LOGIC;
        SW_CLOSED: in STD_LOGIC;
        SW_HI_LOAD: in STD_LOGIC;
        NCS: out STD_LOGIC;
        SCLK: out STD_LOGIC;
        SSEG: out STD_LOGIC_VECTOR (6 downto 0);
        DP: out STD_LOGIC;
        ASEL: out STD_LOGIC_VECTOR (3 downto 0);
        G1: out STD_LOGIC;
        G2: out STD_LOGIC;
        G3: out STD_LOGIC
        );
end fpga;

architecture Behavioral of fpga is
  component microprocessor_wrapper is
    port (mcu_in : in STD_LOGIC_VECTOR (7 downto 0);
          mcu_out : out STD_LOGIC_VECTOR (8 downto 0);
          RST : in STD_LOGIC;
          CLK : in STD_LOGIC;
          START_INTERRUPT : in STD_LOGIC
        );
  end component microprocessor_wrapper;

  component adc2bcd is
    Port (DA: in STD_LOGIC_VECTOR (7 downto 0);
          DO: out STD_LOGIC_VECTOR (11 downto 0));
  end component;

  component adc is
    Port ( SDATA : in STD_LOGIC;
          NCS : out STD_LOGIC;
          SCLK : out STD_LOGIC;
          CLK : in STD_LOGIC;
          RST : in STD_LOGIC;
          START_ADC : in STD_LOGIC;
          DA : out STD_LOGIC_VECTOR (7 downto 0)
        );
  end component;

  signal DA: STD_LOGIC_VECTOR (7 downto 0);
  signal DO: STD_LOGIC_VECTOR (11 downto 0);

  -- Counter to refresh data and multiplex digits
  signal CN_DISP, nCN_DISP: unsigned (19 downto 0);
  signal START_ADC, BCD_EN: STD_LOGIC;

  -- Multiplexed Display
  signal BCD: unsigned (3 downto 0);
  signal BCD_CTL, nBCD_CTL: STD_LOGIC_VECTOR(2 downto 0);

  -- SEÑALES PARA LA PLANIFICACION DEL CONTROL
  signal START_GC : std_logic; -- Señal de inicio
  signal TIMER, nTIMER : unsigned(8 downto 0); -- PWM
  constant N2 : unsigned(8 downto 0) := to_unsigned(100,9); -- Para iniciar GC
  constant N1 : unsigned(8 downto 0) := to_unsigned(20,9); -- Para iniciar ADConv

  -- SEÑALES DEL CONTROLADOR
  signal nDutyC, DutyC: unsigned (8 downto 0); -- Duty command final
  signal mcu_in: STD_LOGIC_VECTOR (7 downto 0);
  signal mcu_out: STD_LOGIC_VECTOR (8 downto 0);
  signal START_INTERRUPT: STD_LOGIC;
  signal EN : std_logic;

begin
  U1: adc2bcd PORT MAP (DA => DA, DO => DO);
  U2: adc PORT MAP (SDATA => SDATA, NCS => NCS, SCLK => SCLK,

```

```

        CLK => CLK, RST => RST, START_ADC => START_ADC, DA => DA);
U3: microprocessor_wrapper port map (CLK => CLK, RST => RST,
        START_INTERRUPT => START_INTERRUPT,
        mcu_in => mcu_in, mcu_out => mcu_out);

-----
-- PROCESO DE BIESTABLES --
-----
process (CLK, RST)
begin
    if (RST = '1') then
        EN <= '0';
        CN_DISP <= (others => '0');
        BCD_CTL <= "110";
        -- CONTROLADOR
        TIMER <= (others => '0');
        DutyC <=(others => '0');
    elsif (CLK'event and CLK = '1') then
        if EN = '1' then
            CN_DISP <= nCN_DISP;
            BCD_CTL <= nBCD_CTL;
            -- CONTROLADOR
            TIMER <= nTIMER;
            DutyC <= nDutyC;
        end if;
        EN <= not EN;
    end if;
end process;

-----
--                                CONTROLADOR                                --
-----

--SEÑAL INICIO ADC inicio
START_ADC <= '1' when (TIMER = N1) else '0';

-- Logica combinacional para el control del microcontrolador
-- Es necesario mantener el pulso para que funcione la interrupcion
START_INTERRUPT <= '1' when (TIMER > N2) and (TIMER < N2+10) and (SW_CLOSED = '1')
    else '0';
mcu_in <= DA;

-- TIMER: Generación de DPWM
nTIMER <= (TIMER + 1) when (TIMER < 499) else (others => '0');

-- Selección del Duty en función del SW
nDutyC <= unsigned(mcu_out) when (TIMER= 499 and SW_CLOSED = '1') else --Lazo cerrado
to_unsigned(200,9) when (SW_CLOSED = '0') else --Lazo abierto
DutyC; --Resto del tiempo, no hacer nada.

-- SEÑALES DE CONTROL DEL CONVERTIDOR:
G1 <= '1' when (DutyC > TIMER) else '0'; -- G1
G2 <= '0'; -- G2 siempre abierto
G3 <= '1' when (SW_HI_LOAD = '1') else '0';

```

7.10.3 Código C

```

#include "xparameters.h"
#include "xgpio.h"

/***** Function Prototypes *****/
void mi_ISR( void ) __attribute__((interrupt_handler));

/***** Variable Definitions *****/
XGpio GPInput, GPOutput; /* The Instance of the GPIO Driver */
uint32_t ADC, DC;

float ADC_f;
float error0 = 0.0;
float error1 = 0.0;
float error2 = 0.0;
float duty0 = 0.0;
float duty1 = 0.0;
float duty2 = 0.0;

const float Ref = 194.0;
const float b2 = 3.480 *6.6; //22.968
const float b1 = -7.658 *6.6; //-50.5428
const float b0 = 4.197 *6.6; //27.7002
const float a2 = 0.5182;
const float a1 = -1.5182;
const float duty_max = 450.0;
const float duty_min = 50.0;

int main()
{
    //Initialize IOs
    XGpio_Initialize(&GPInput, XPAR_AXI_GPIO_0_DEVICE_ID);
    XGpio_Initialize(&GPOutput, XPAR_AXI_GPIO_1_DEVICE_ID);

    //Enable interrupts
    microblaze_enable_interrupts();

    while(1)
    {
        //Leer ADC
        ADC = XGpio_DiscreteRead(&GPInput, 1);
        ADC_f = (float)ADC;

        //Calcular error
        error0 = (Ref - ADC_f);

        //Ecuacion del controlador
        duty0 = -a1*duty1 - a2*duty2 + b0*error0 + b1*error1 + b2*error2;

        //Actualizacion de variables
        duty2 = duty1;
        duty1 = duty0;
        error2 = error1;
        error1 = error0;

        //Cuantizador para el ciclo de servicio
        if (duty0 > duty_max)
            duty0 = duty_max;
        else if (duty0 < duty_min)
            duty0 = duty_min;

        //Salida del controlador
        DC = (int) duty0;
        XGpio_DiscreteWrite(&GPOutput, 1, DC);
    }
}

```